

Fig. 1(A)

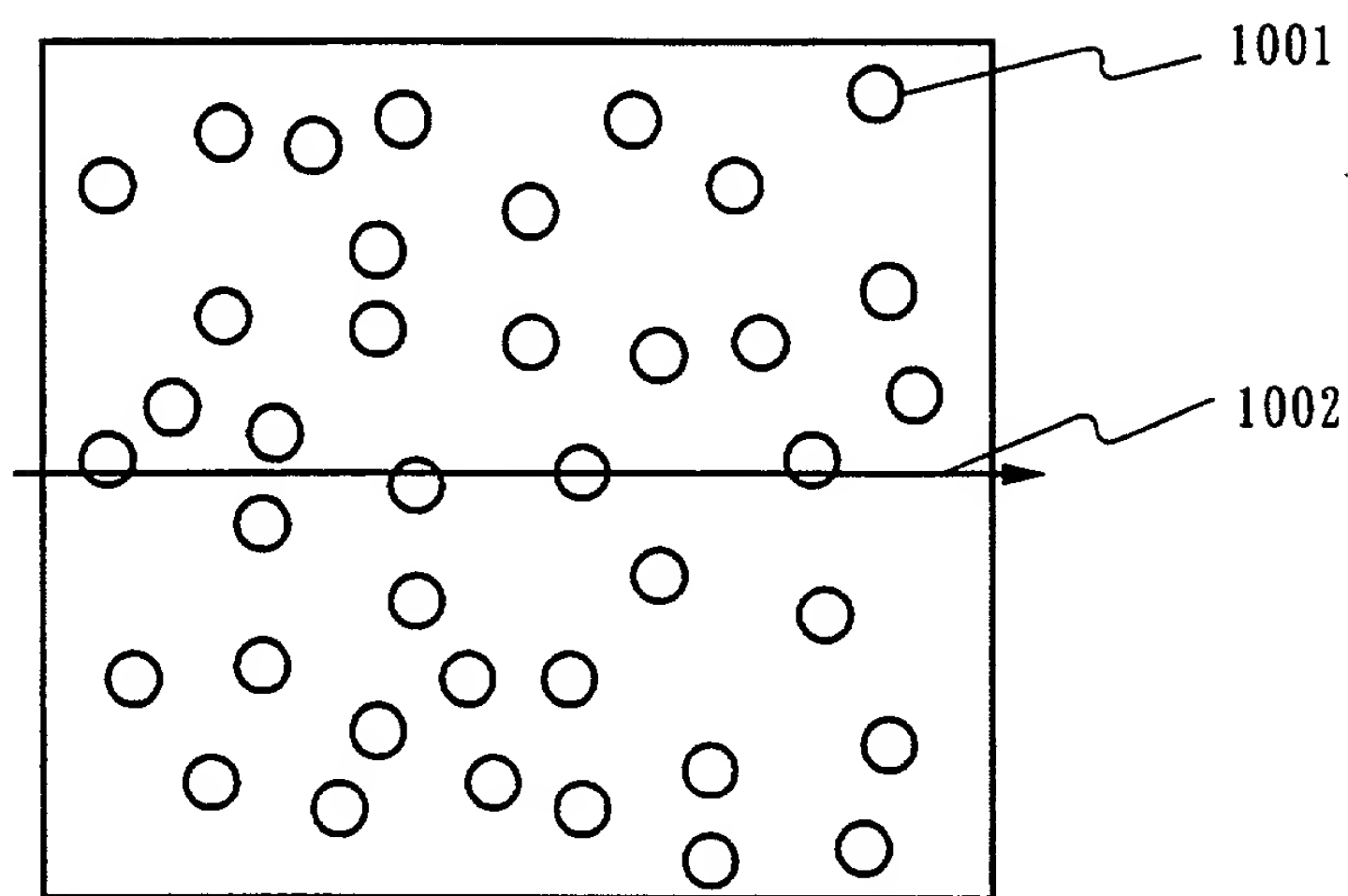


Fig. 1(B)

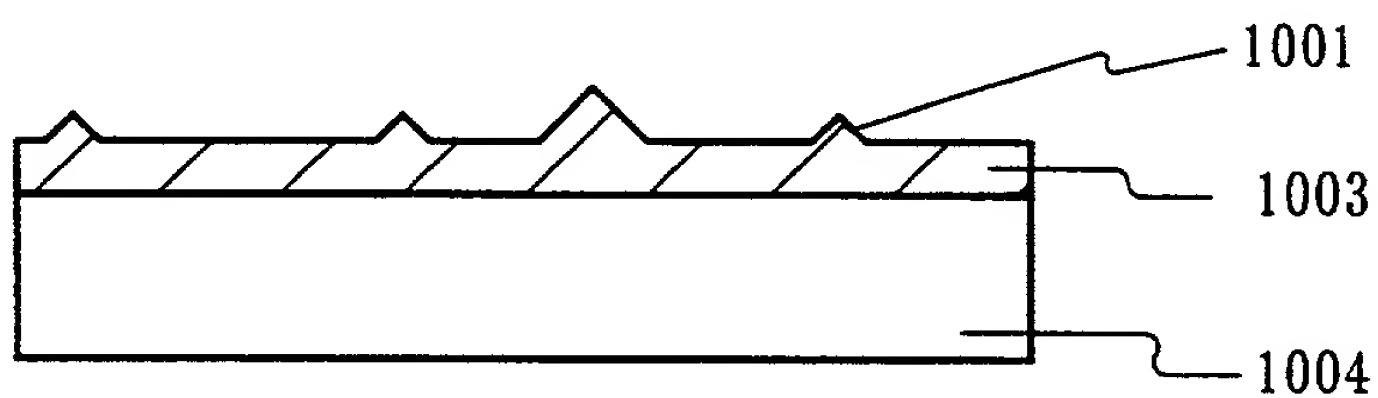


Fig. 2(A)

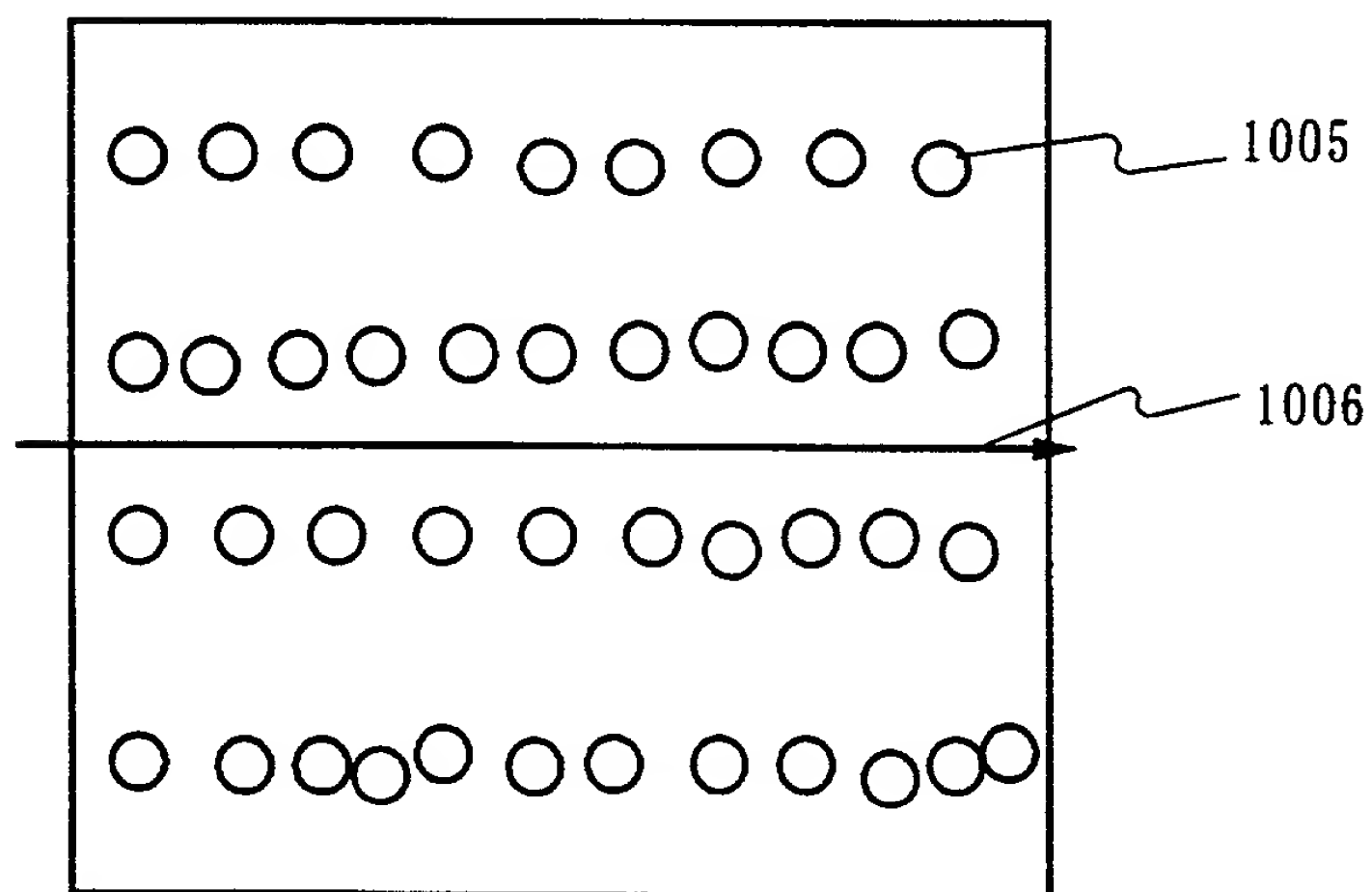
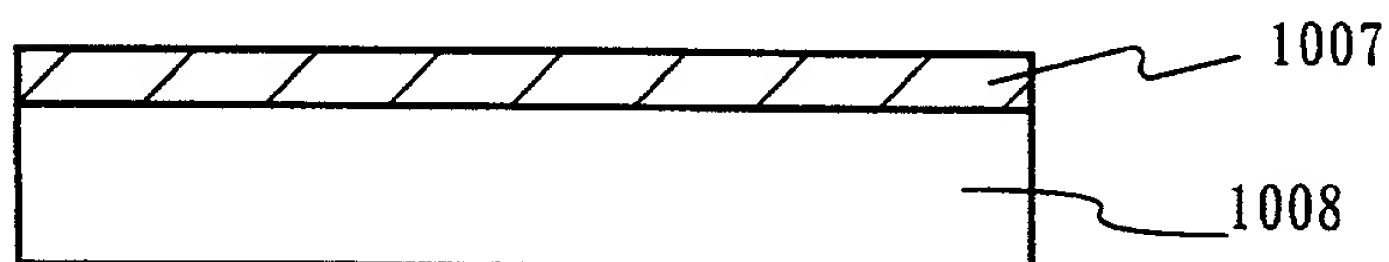


Fig. 2(B)



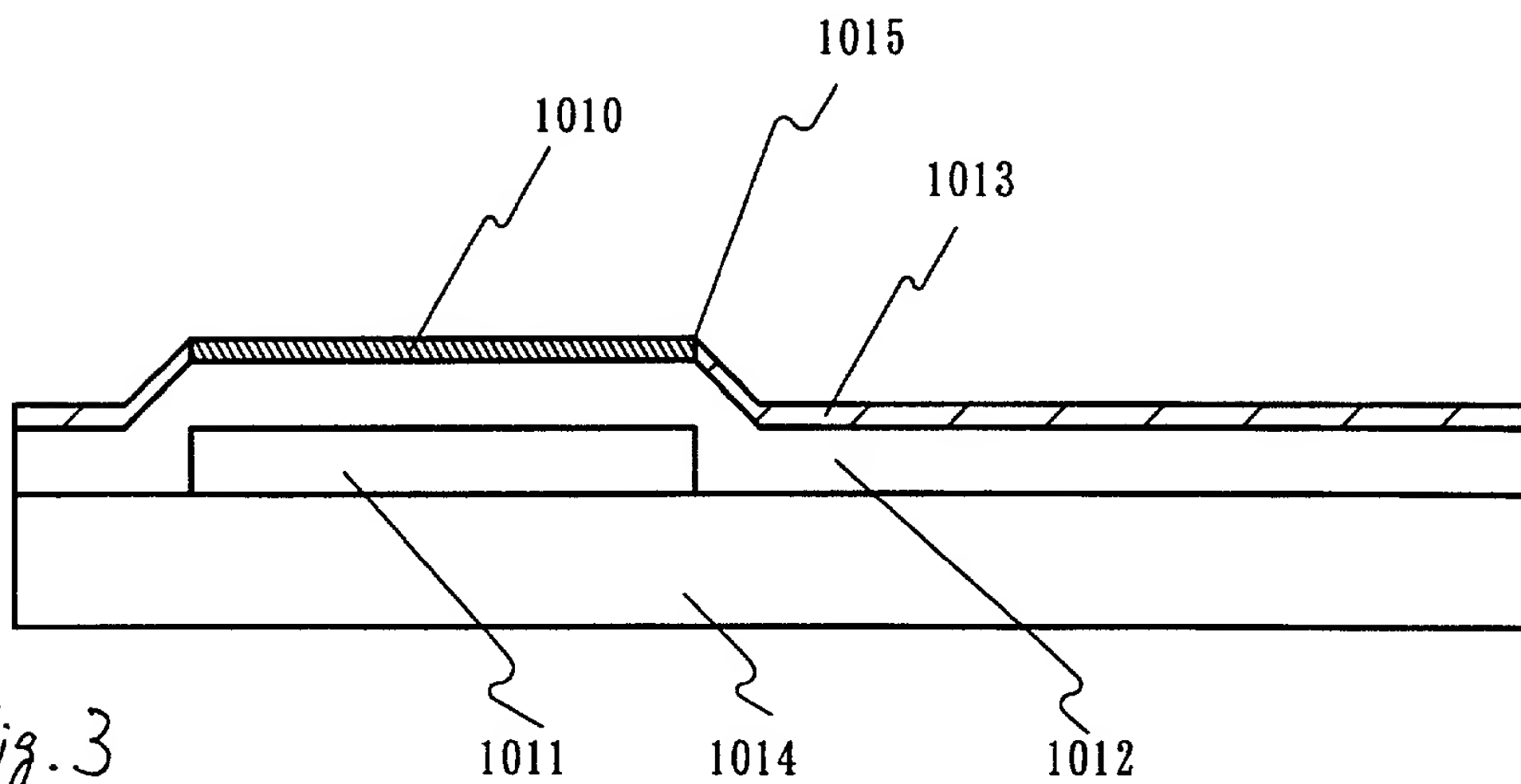


Fig. 3



Fig. 4

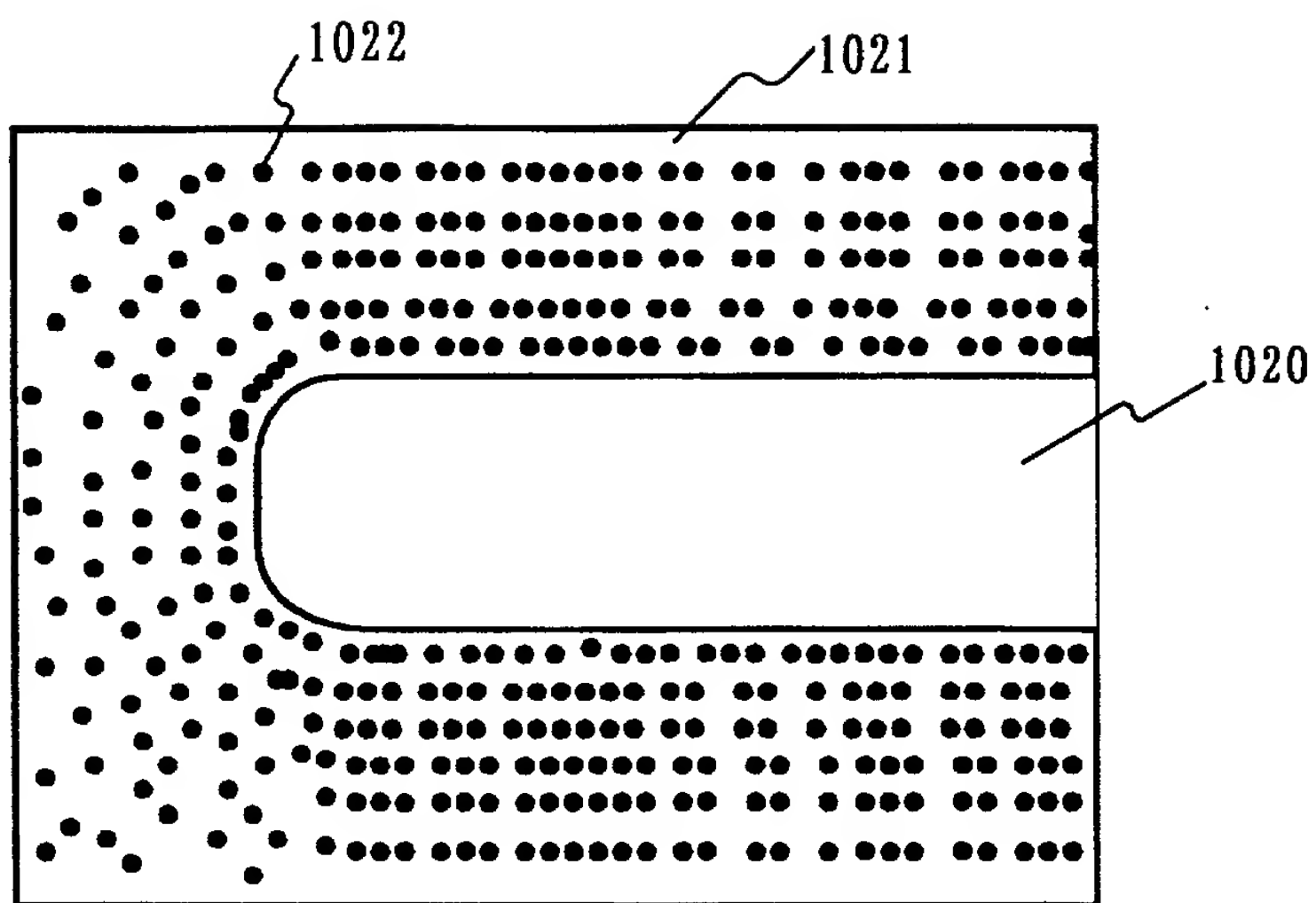


Fig. 5

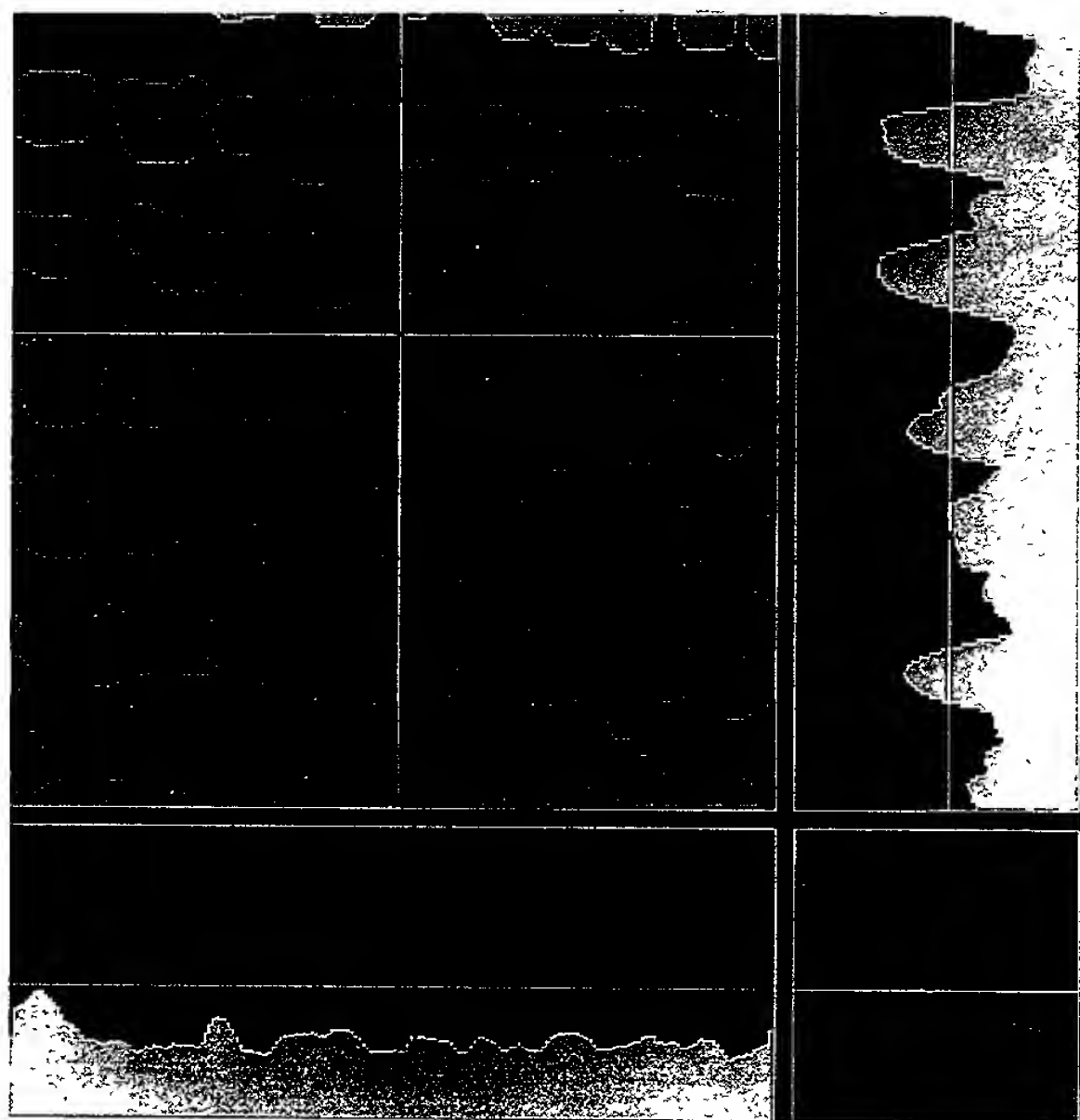


Fig. 6

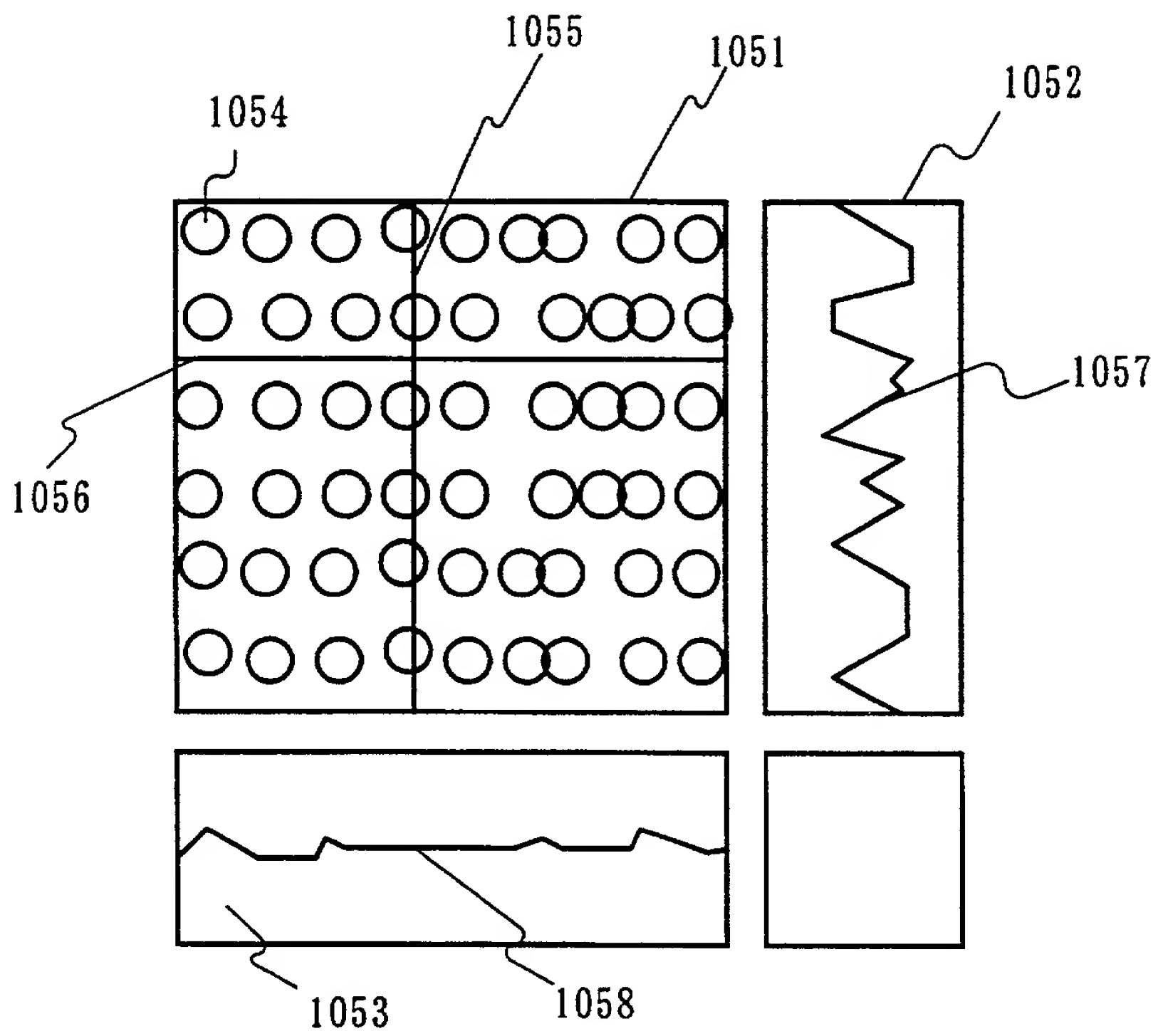


Fig. 7

Fig. 8 (A)

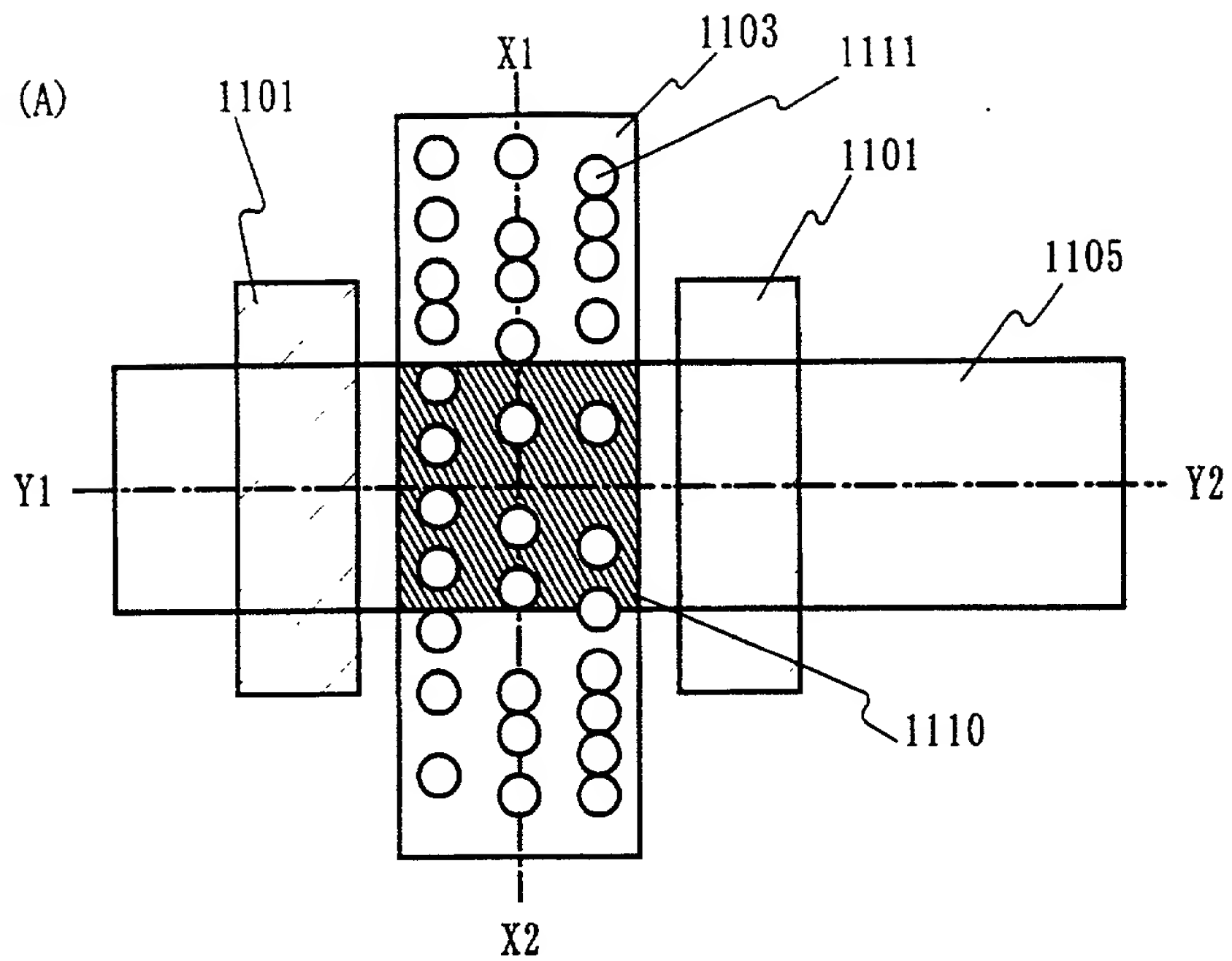


Fig. 8 (B)

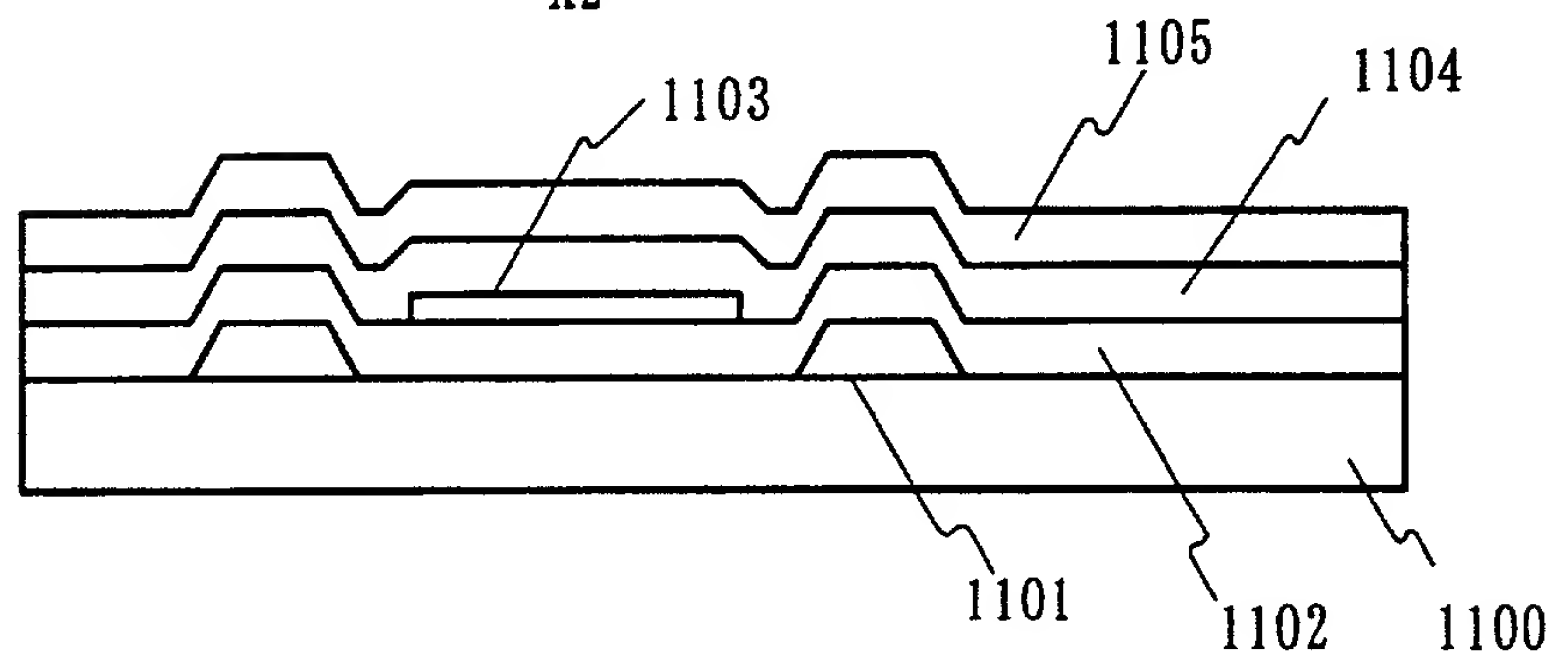


Fig. 8 (C)

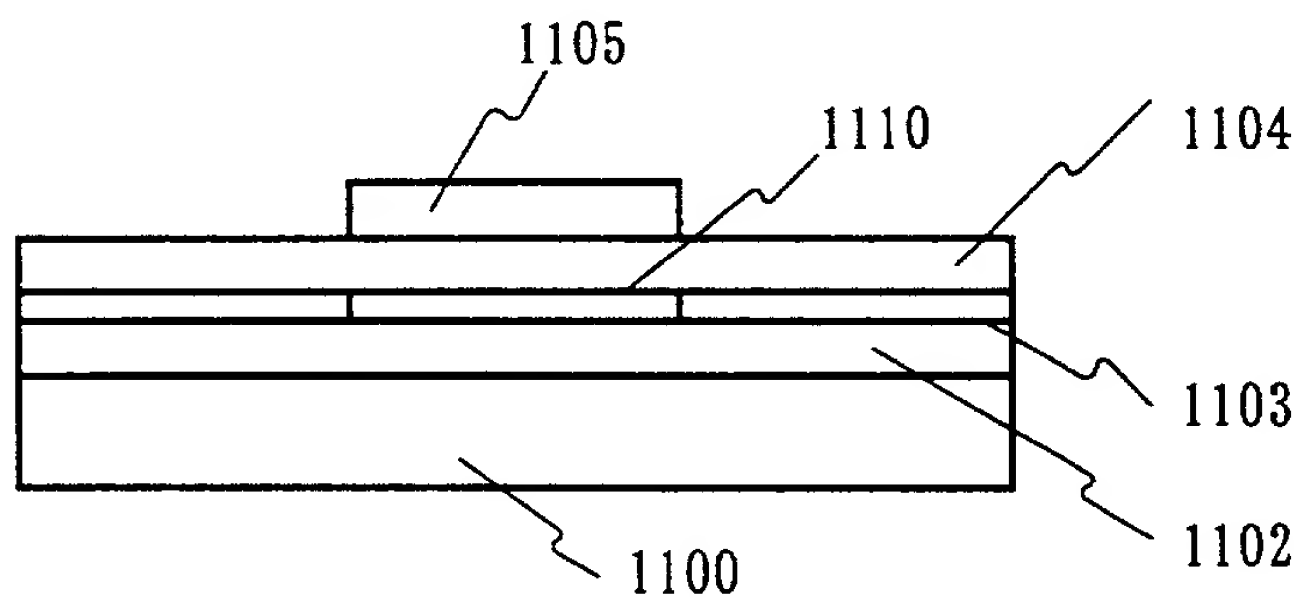


Fig. 9 (A)

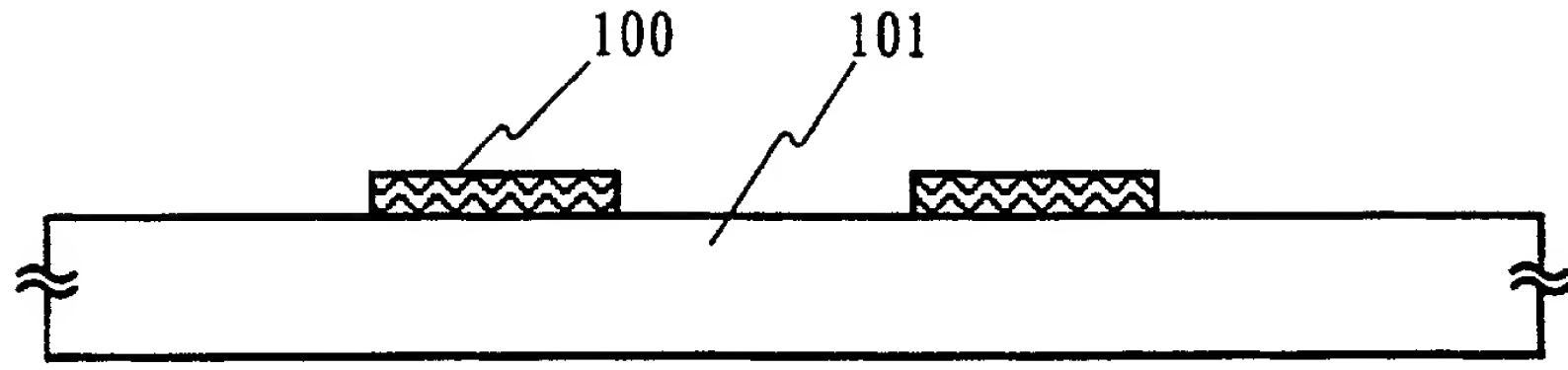


Fig. 9 (B)

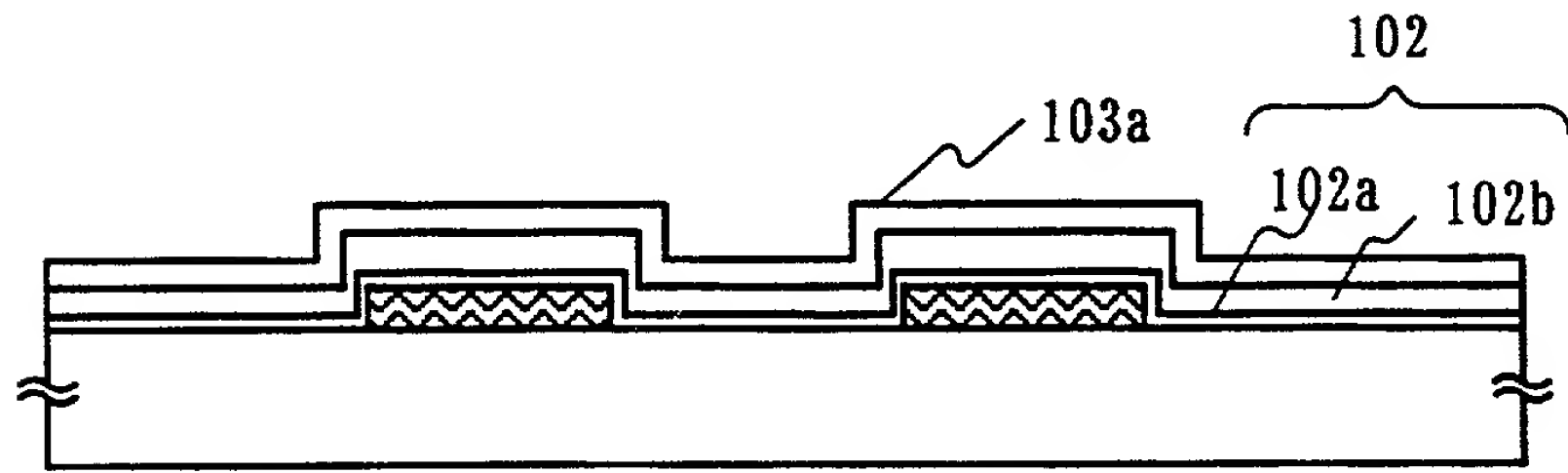


Fig. 9 (C)

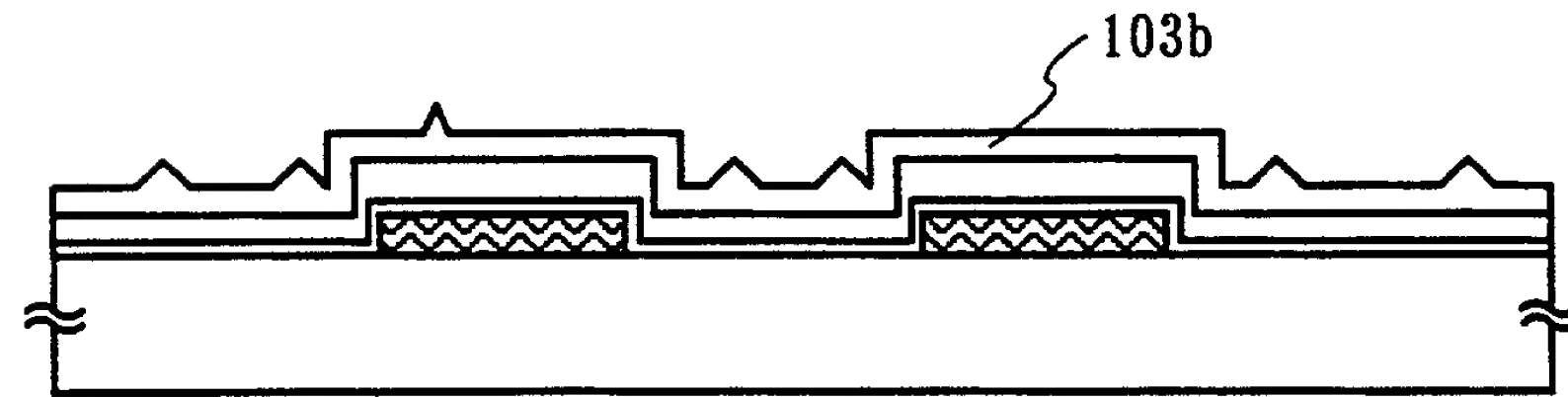


Fig. 9 (D)

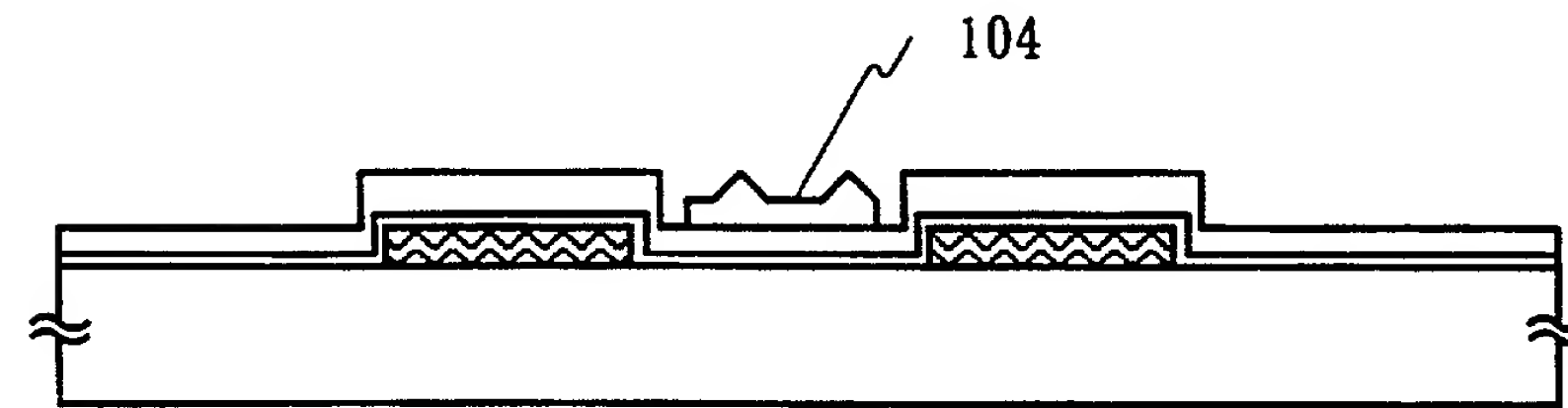


Fig. 10 (A)

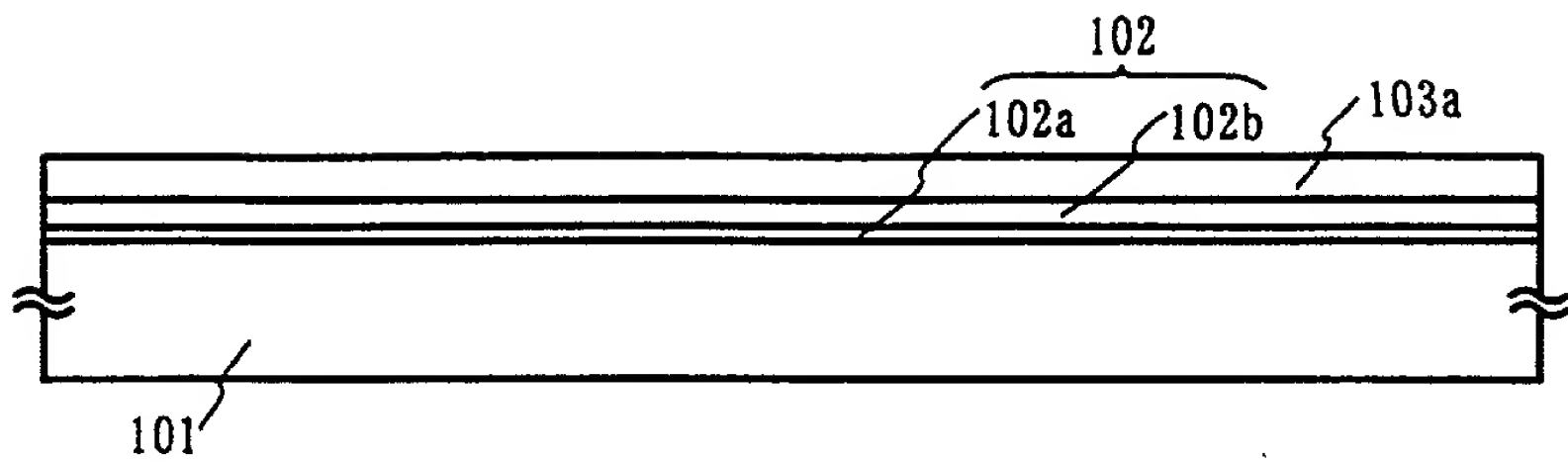


Fig. 10 (B)

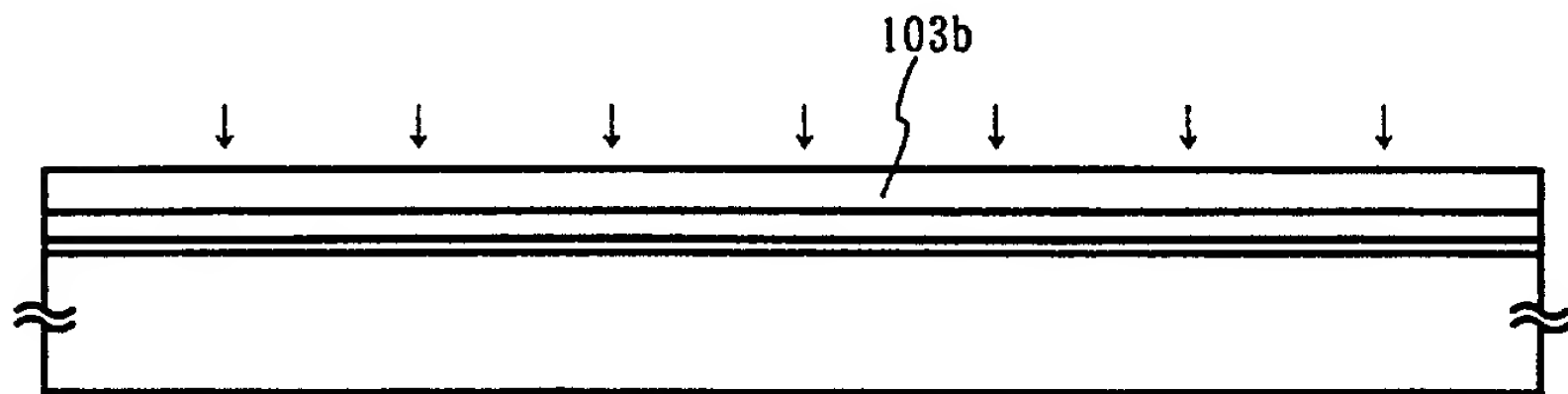


Fig. 10 (C)

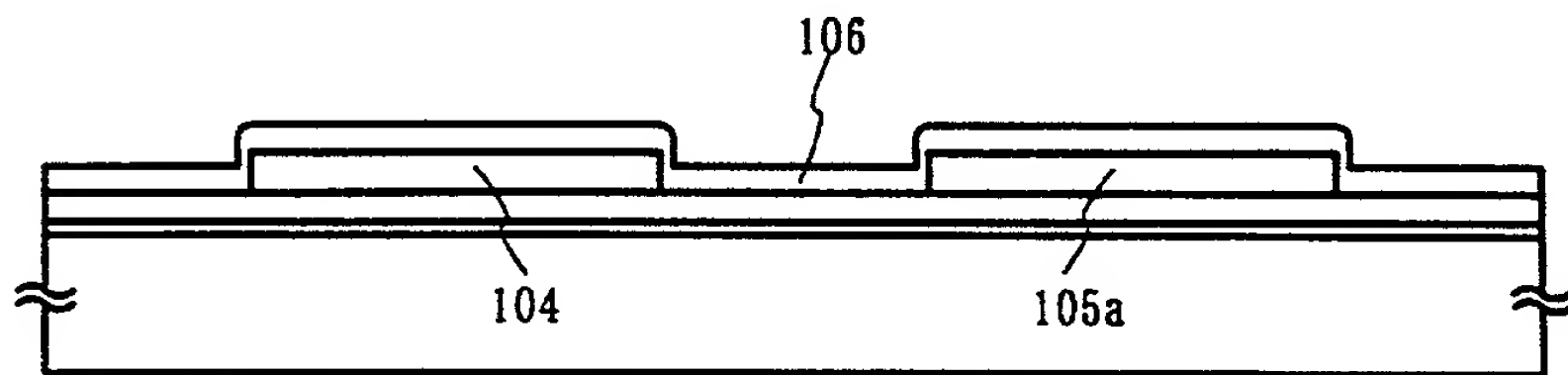


Fig. 10 (D)

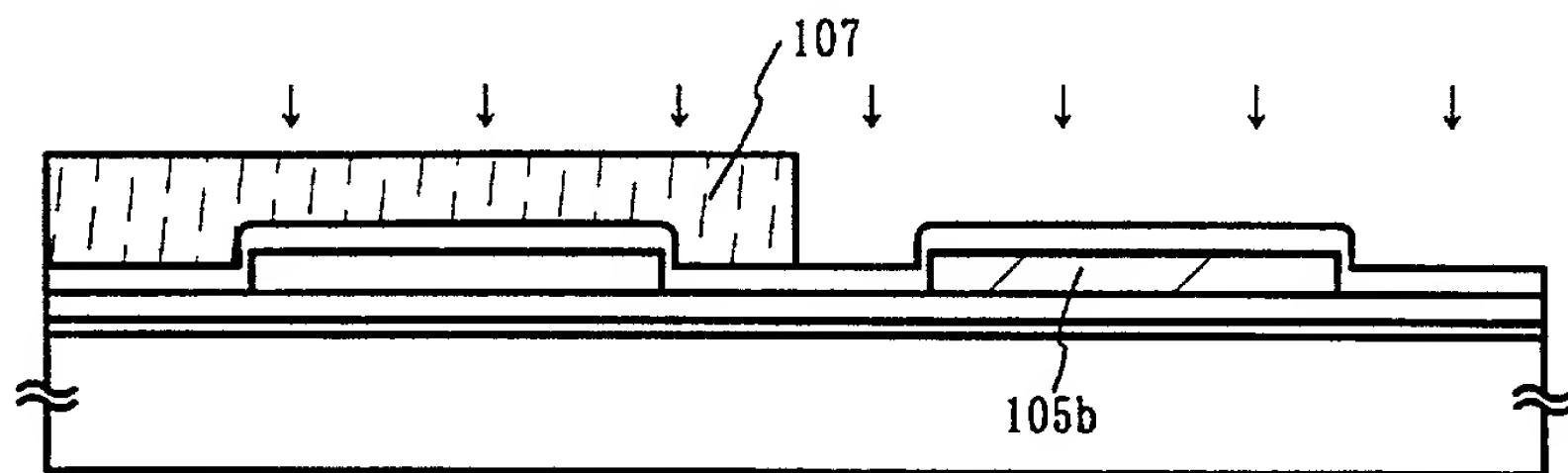


Fig. 10 (E)

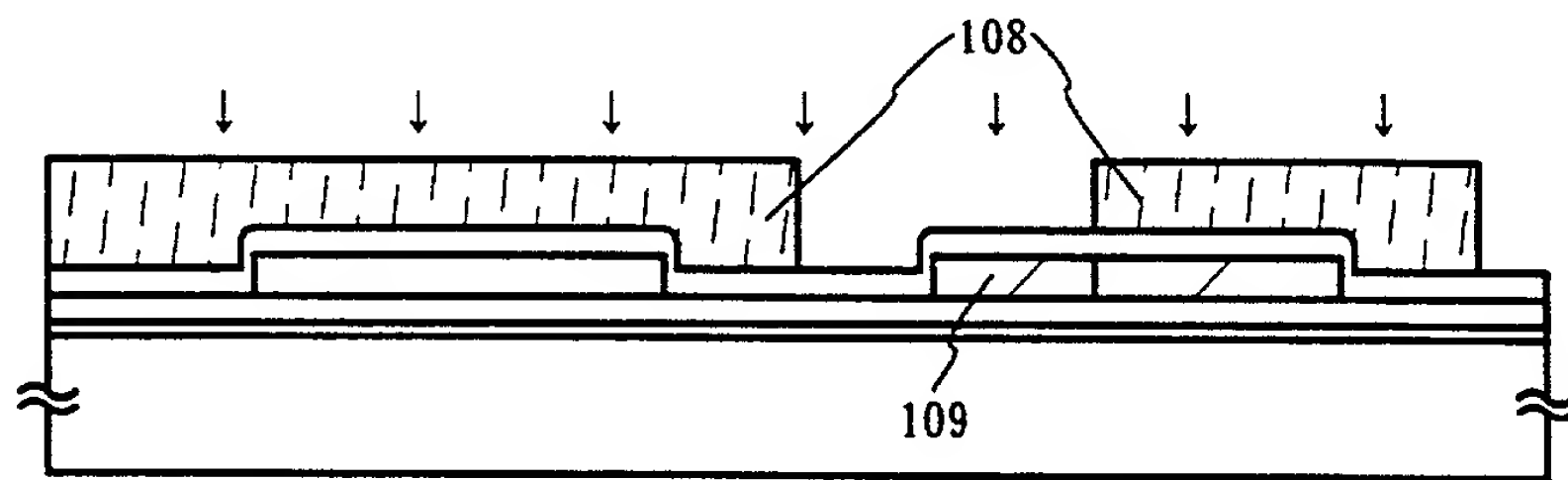


Fig. 10 (F)

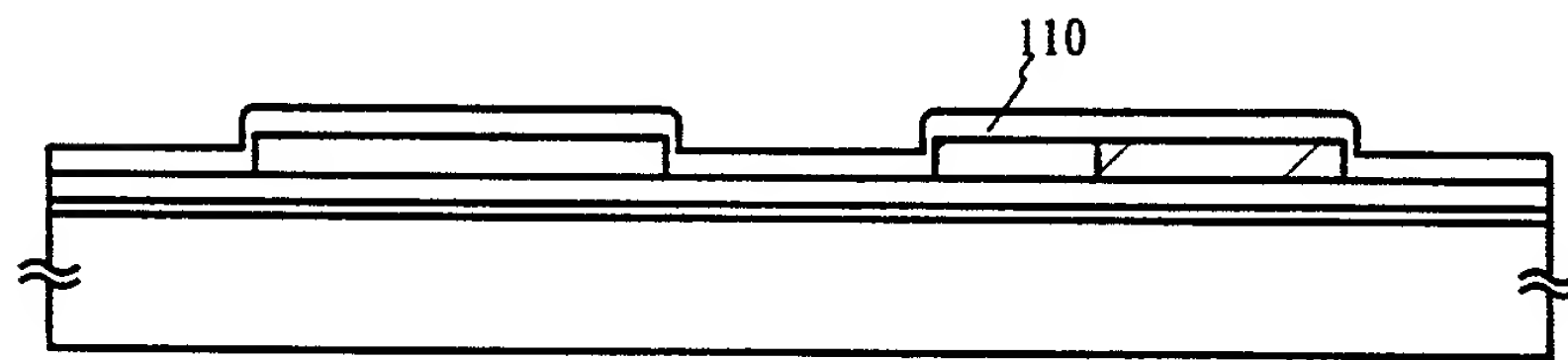


Fig. 11 (A)

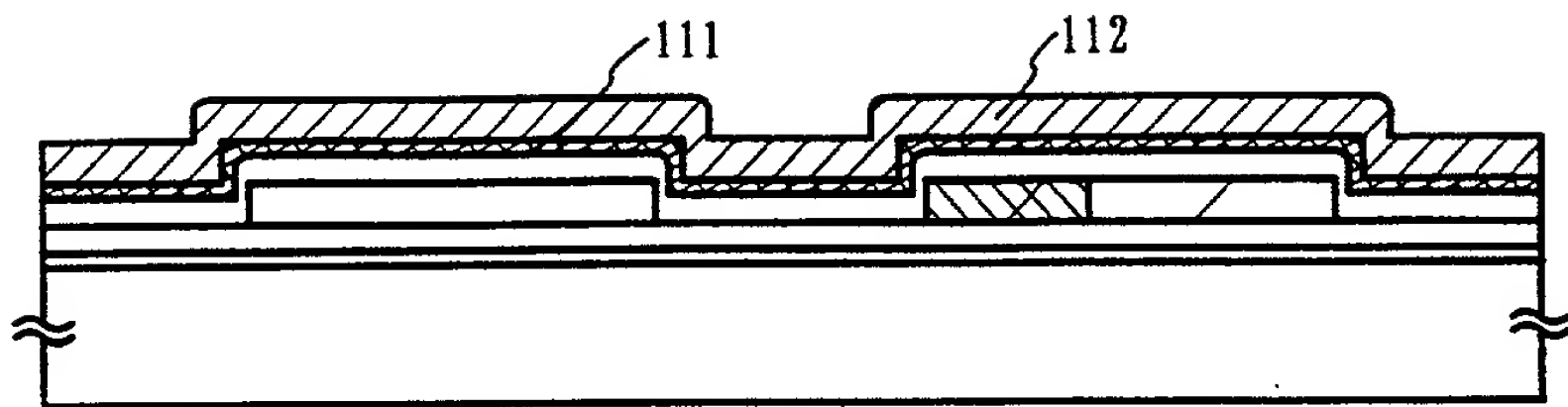


Fig. 11 (B)

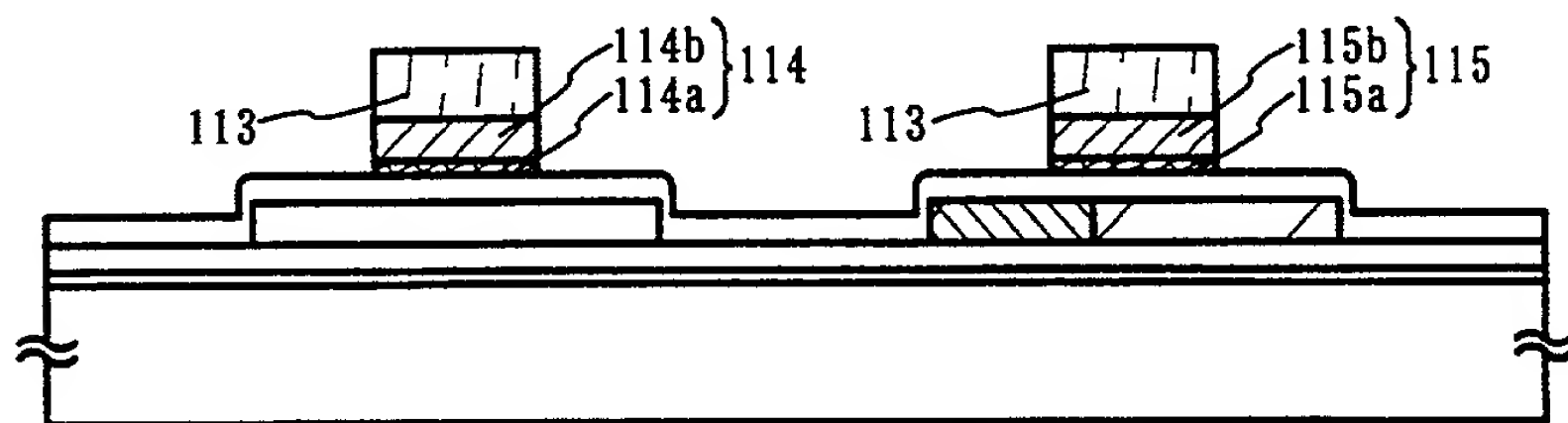


Fig. 11 (C)

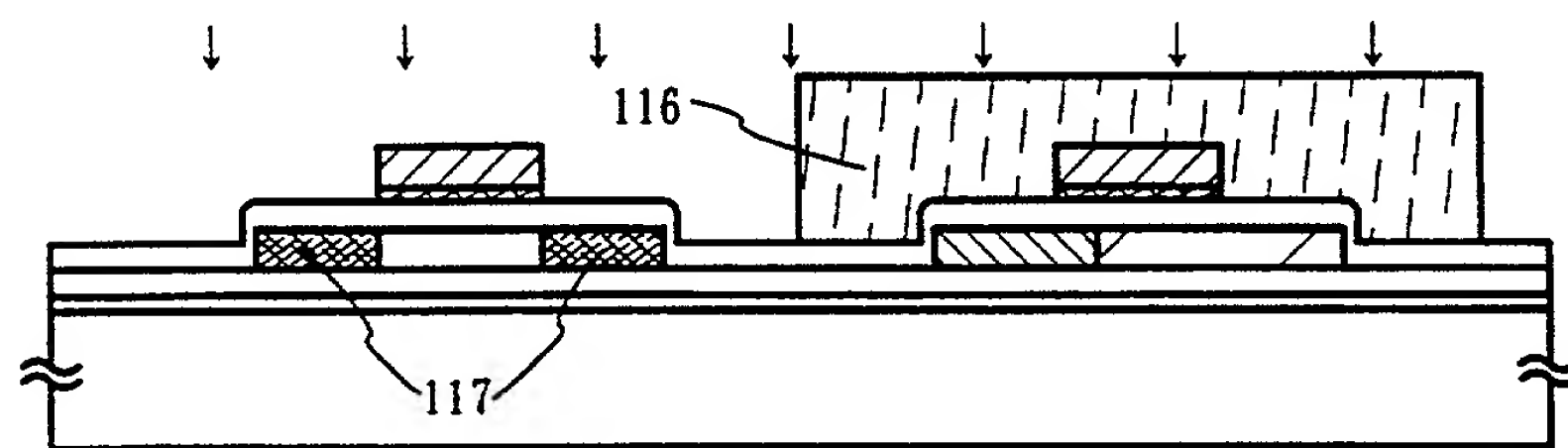


Fig. 11 (D)

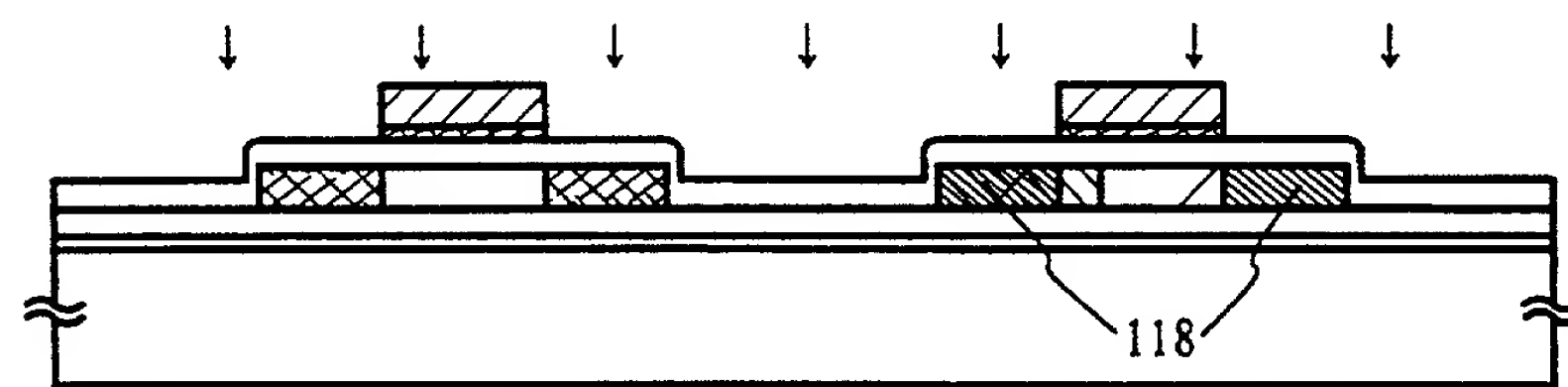


Fig. 11 (E)

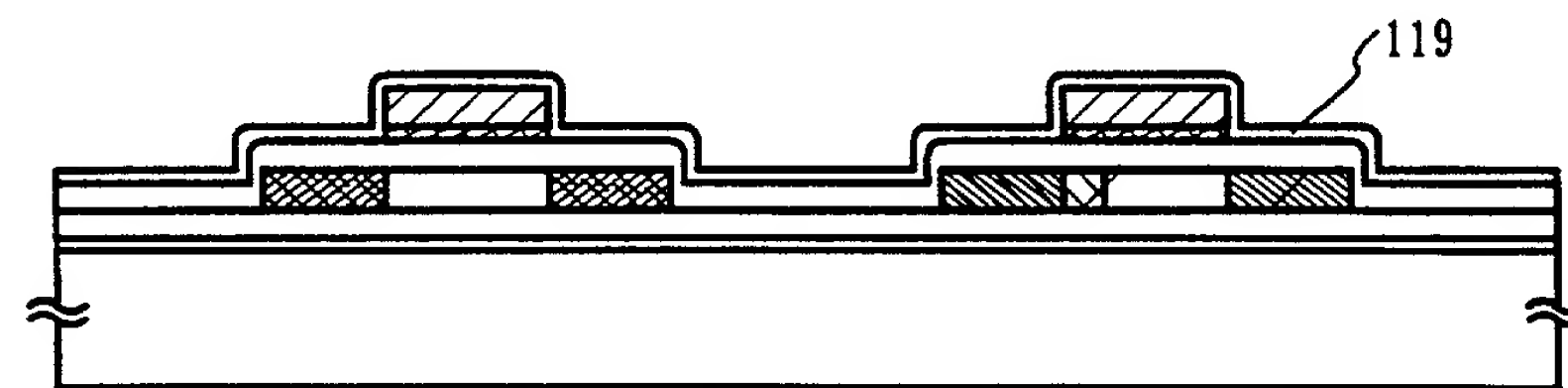
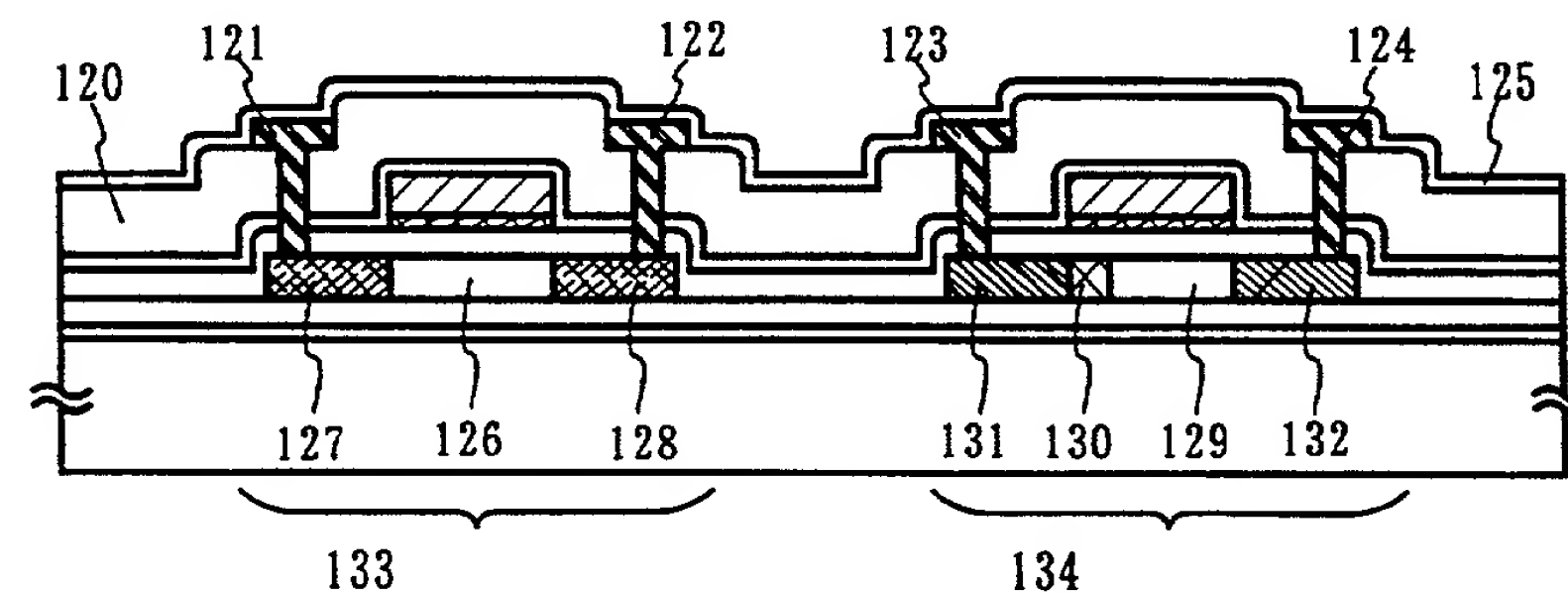


Fig. 11 (F)





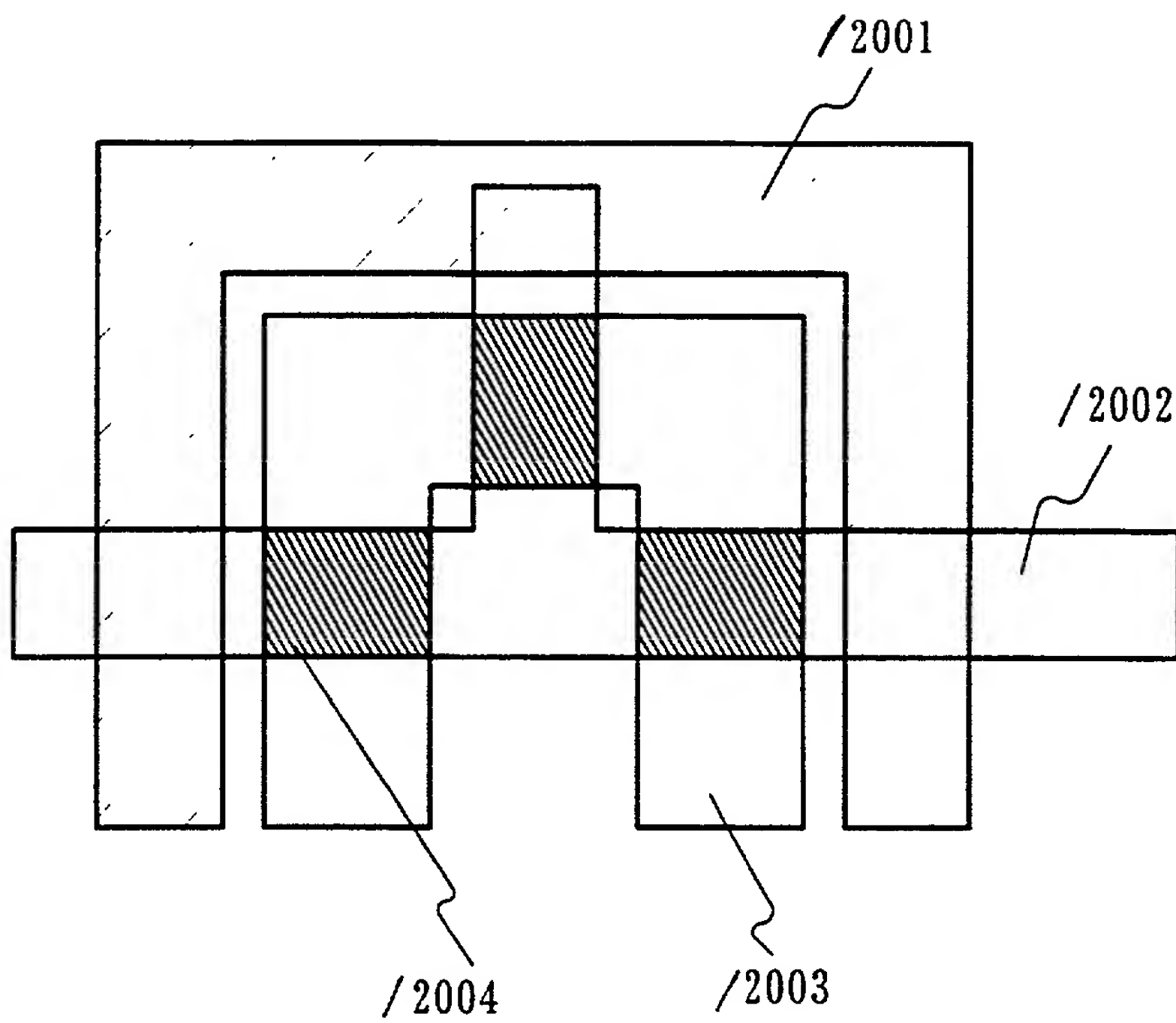


Fig. 12

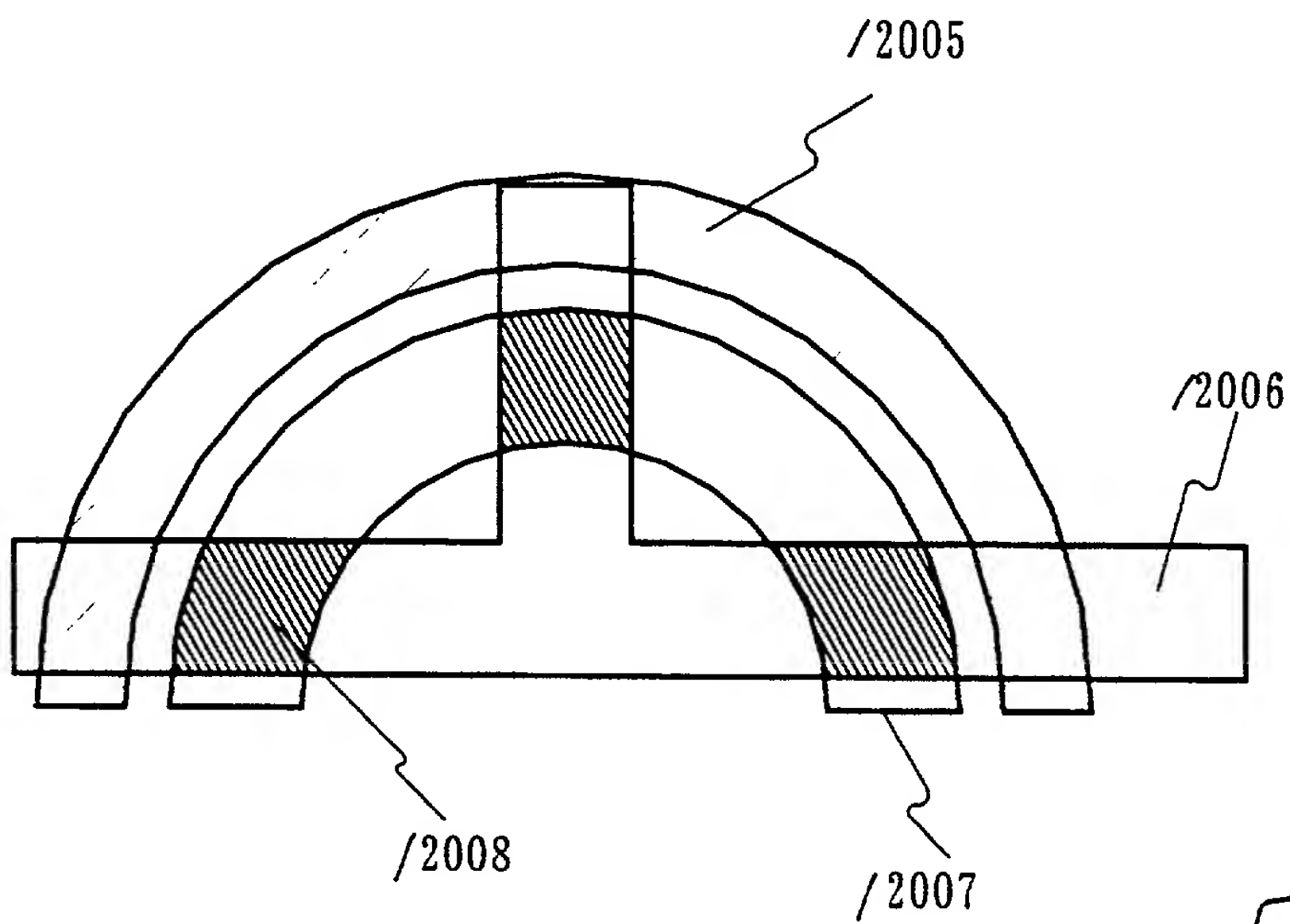
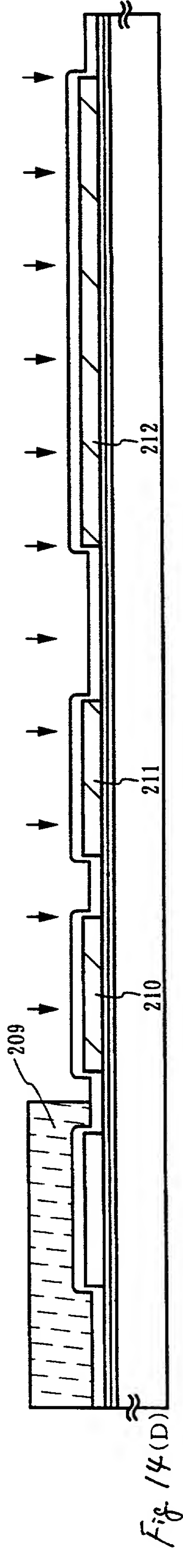
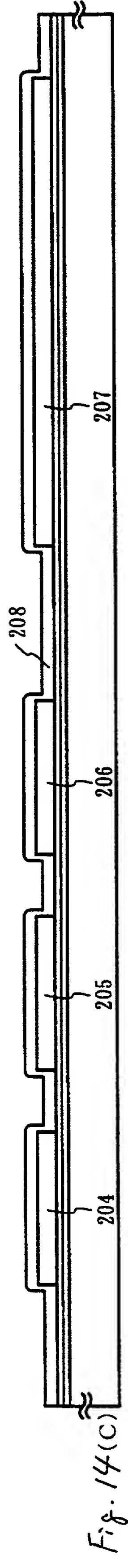
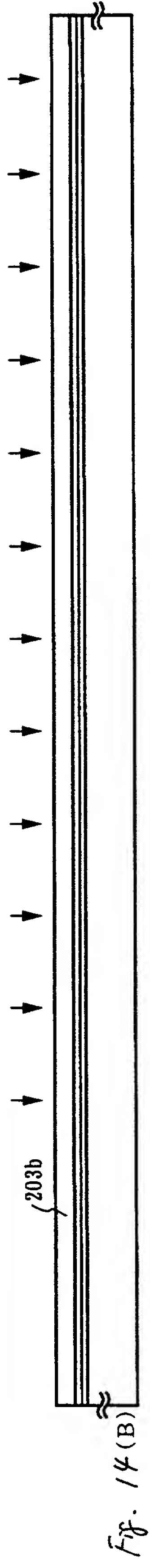
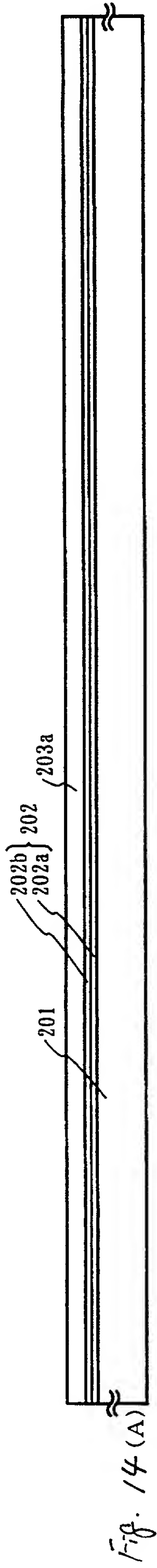


Fig. 13



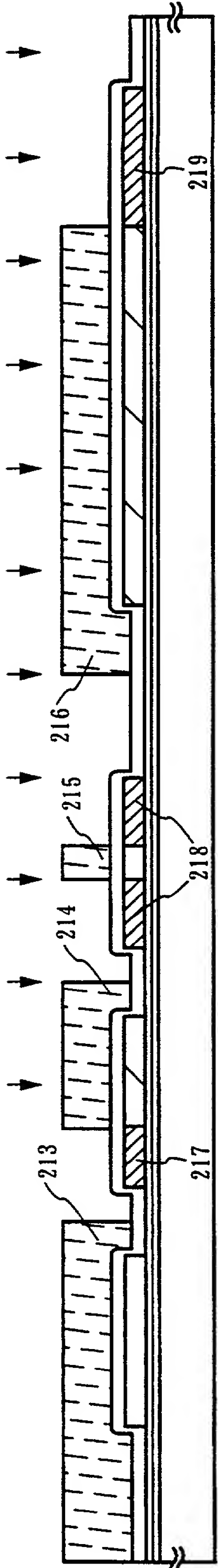


Fig. 15(A)

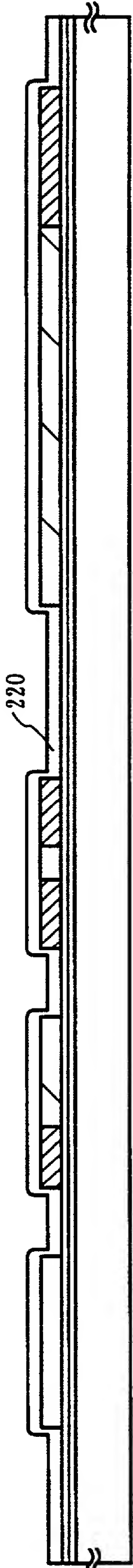


Fig. 15(B)

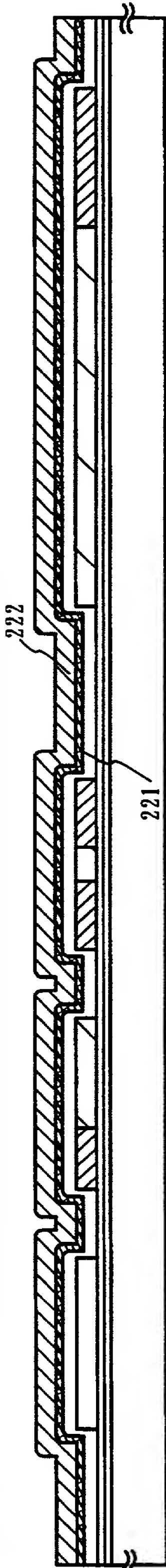


Fig. 15(C)

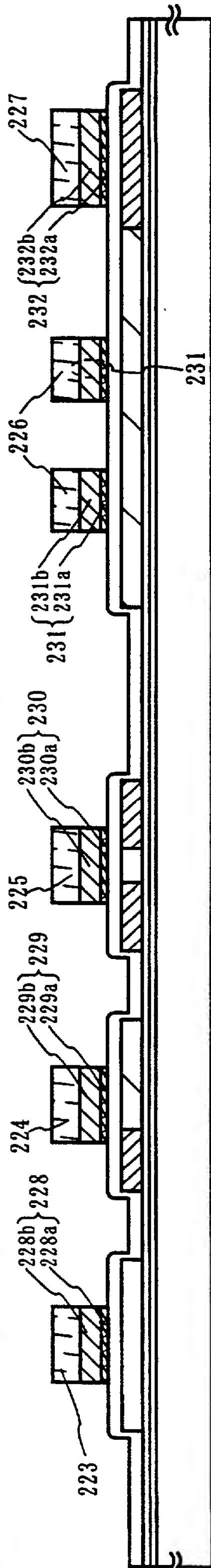


Fig. 15(D)

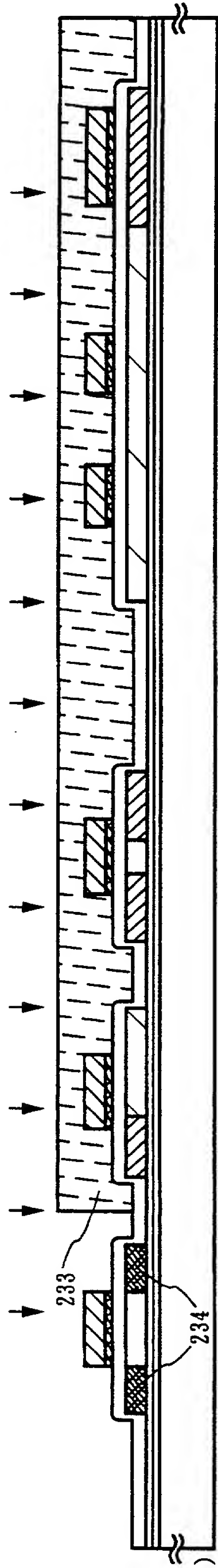


Fig. 16 (A)

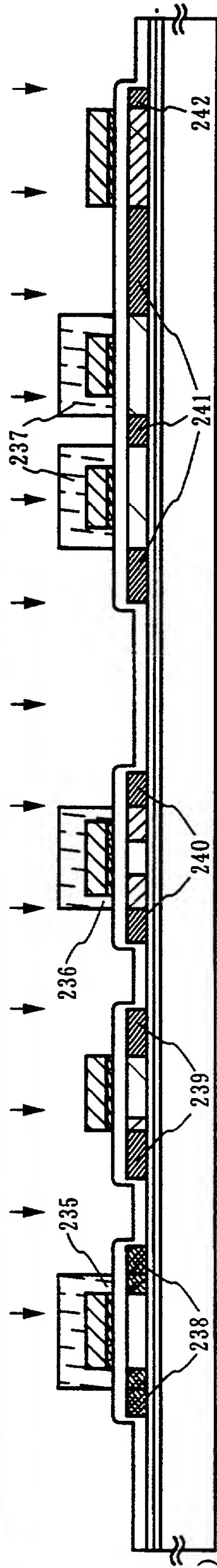


Fig. 16 (B)

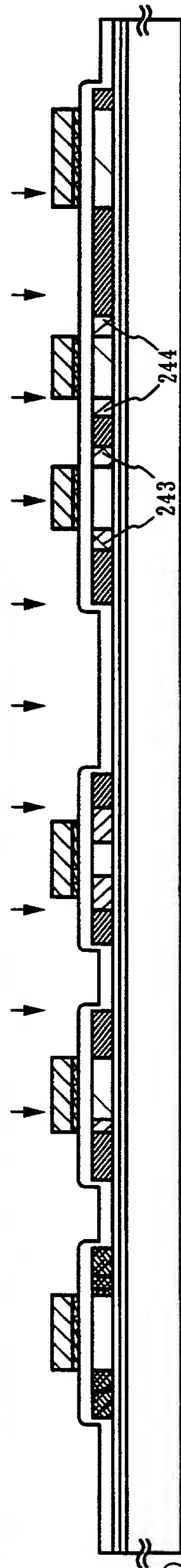


Fig. 16 (C)

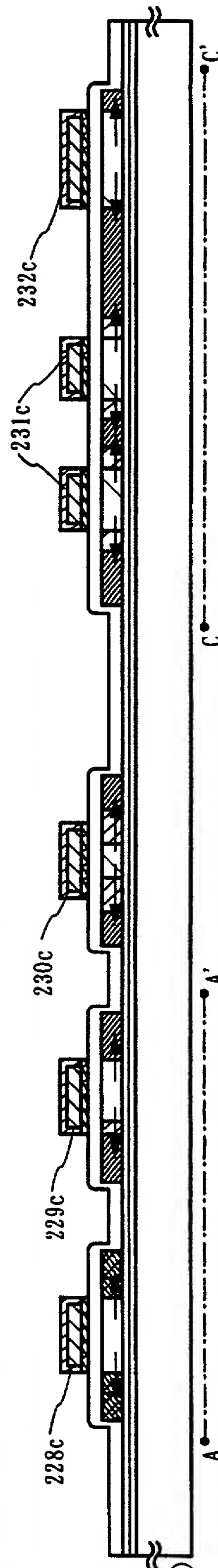


Fig. 16 (D)

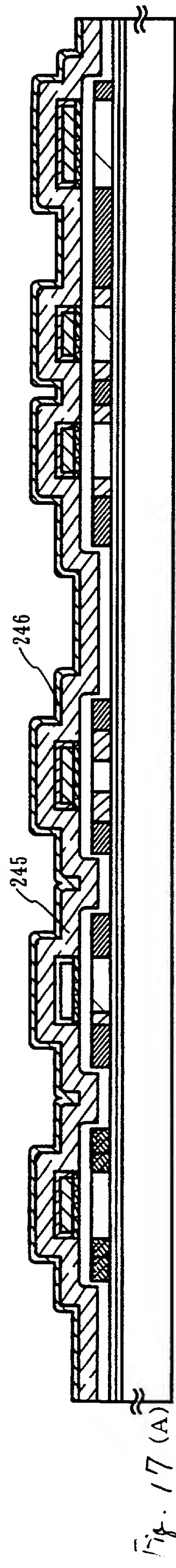


Fig. 17 (A)

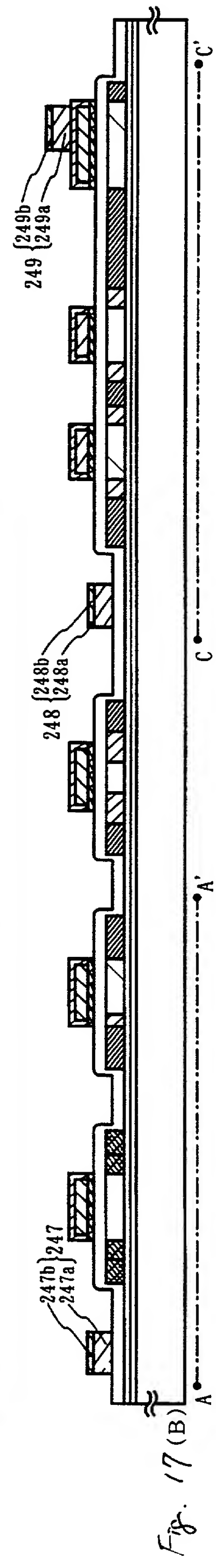


Fig. 17 (B)

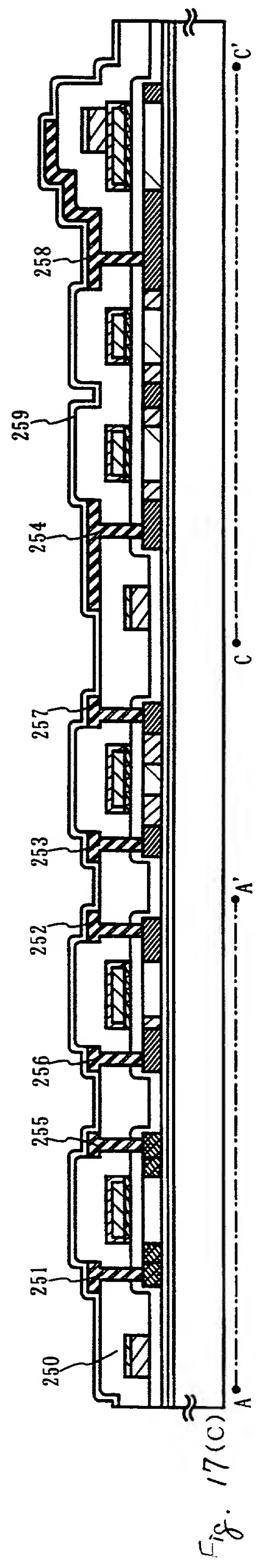


Fig. 17 (C)

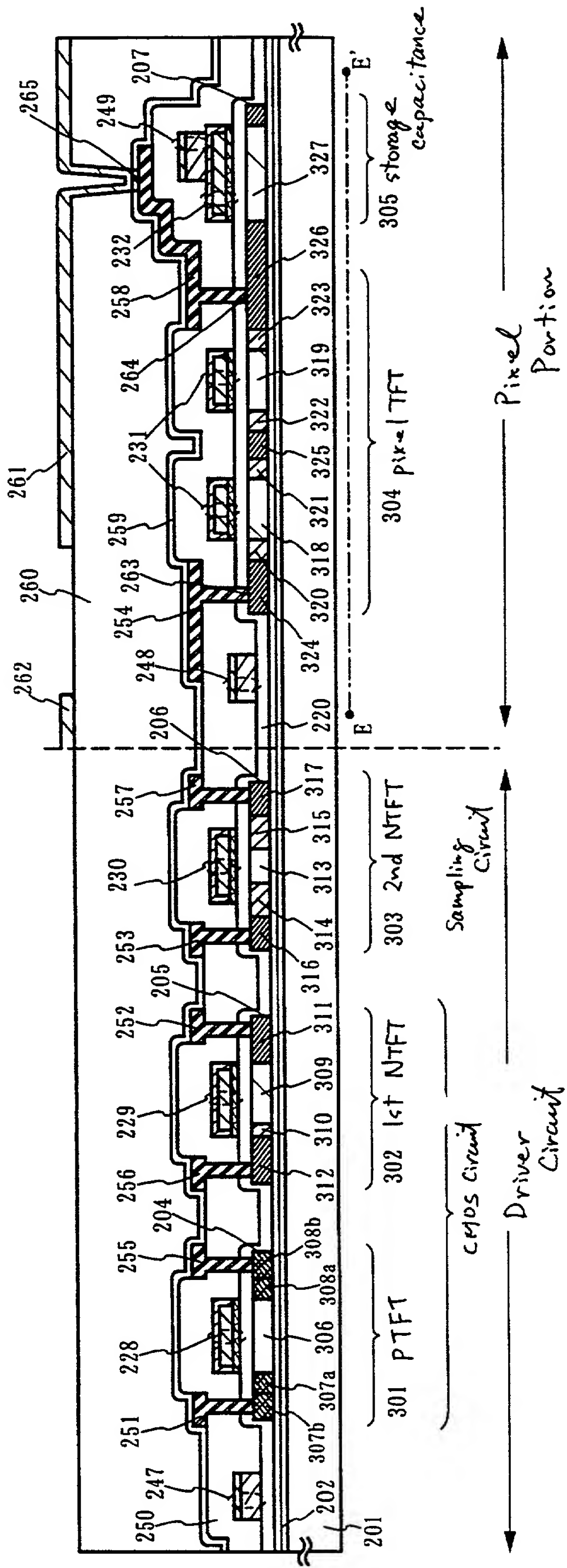
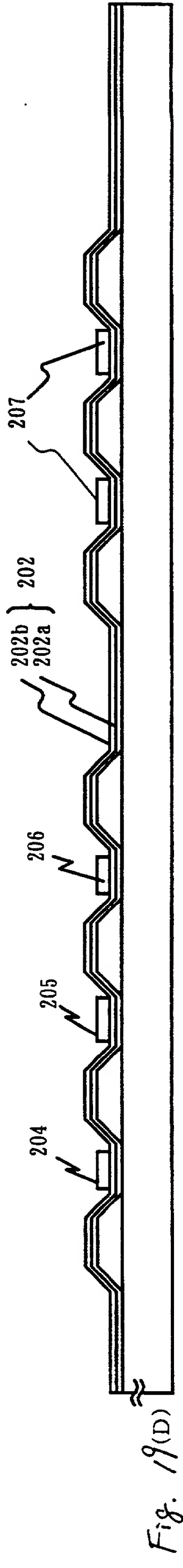
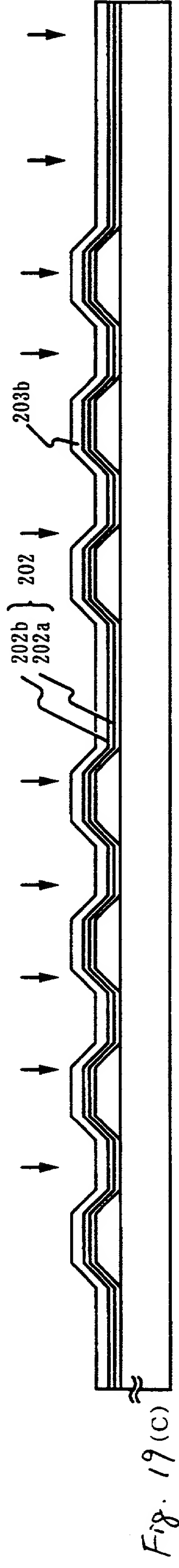
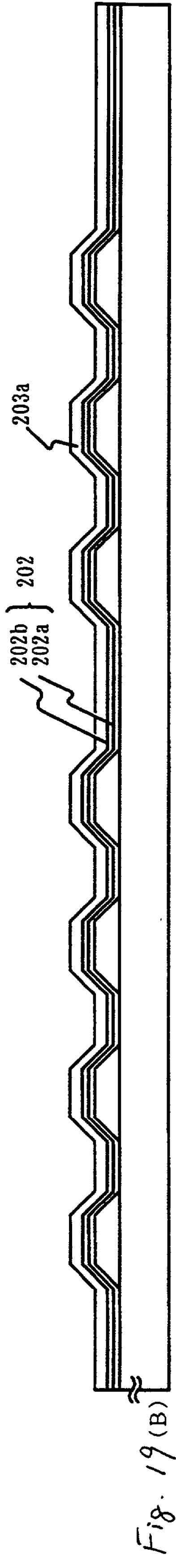
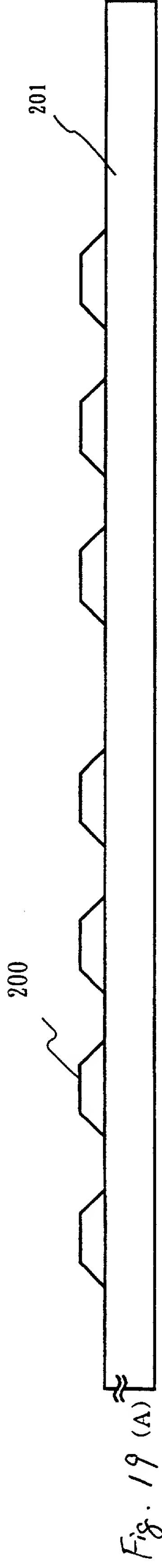


Fig. 18



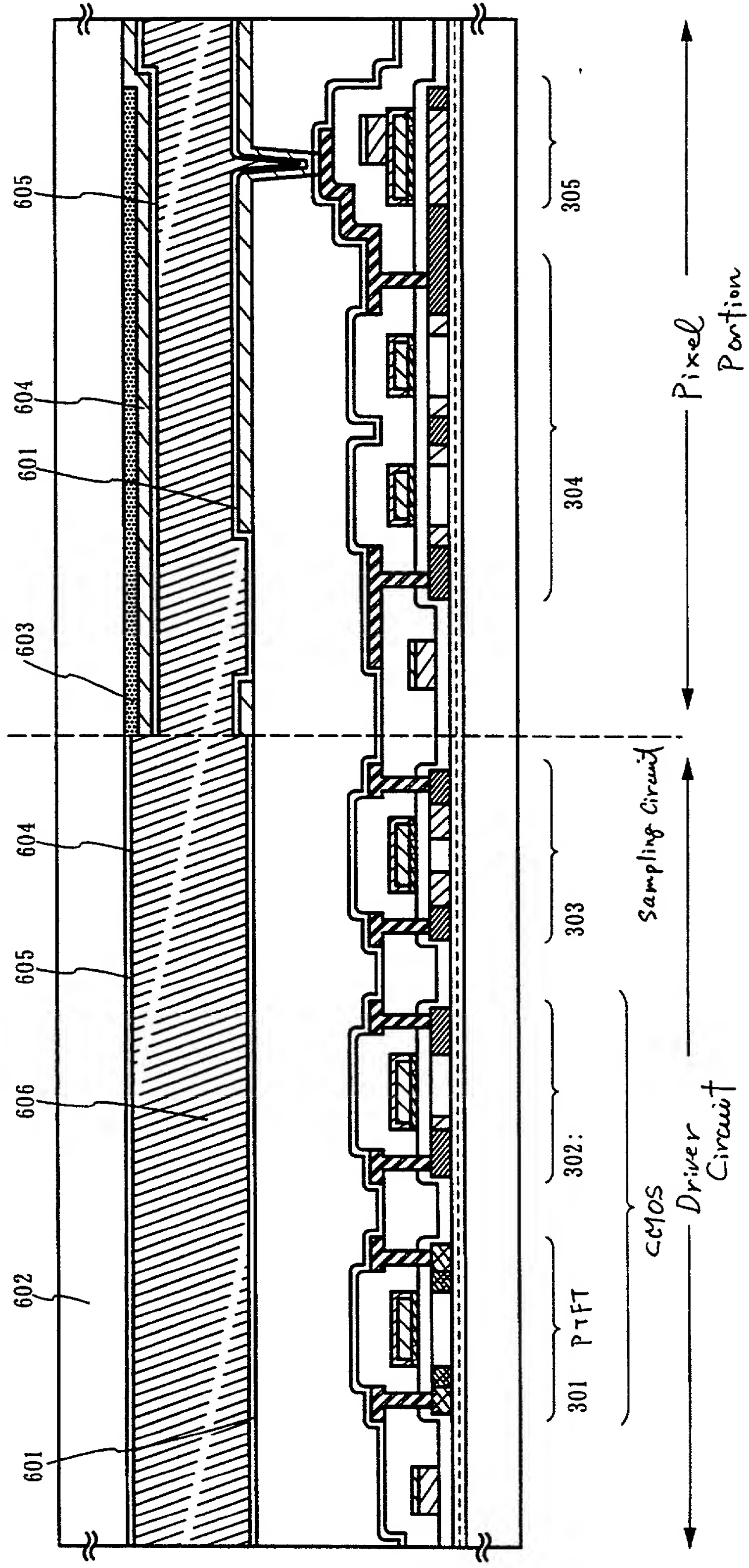


Fig. 20



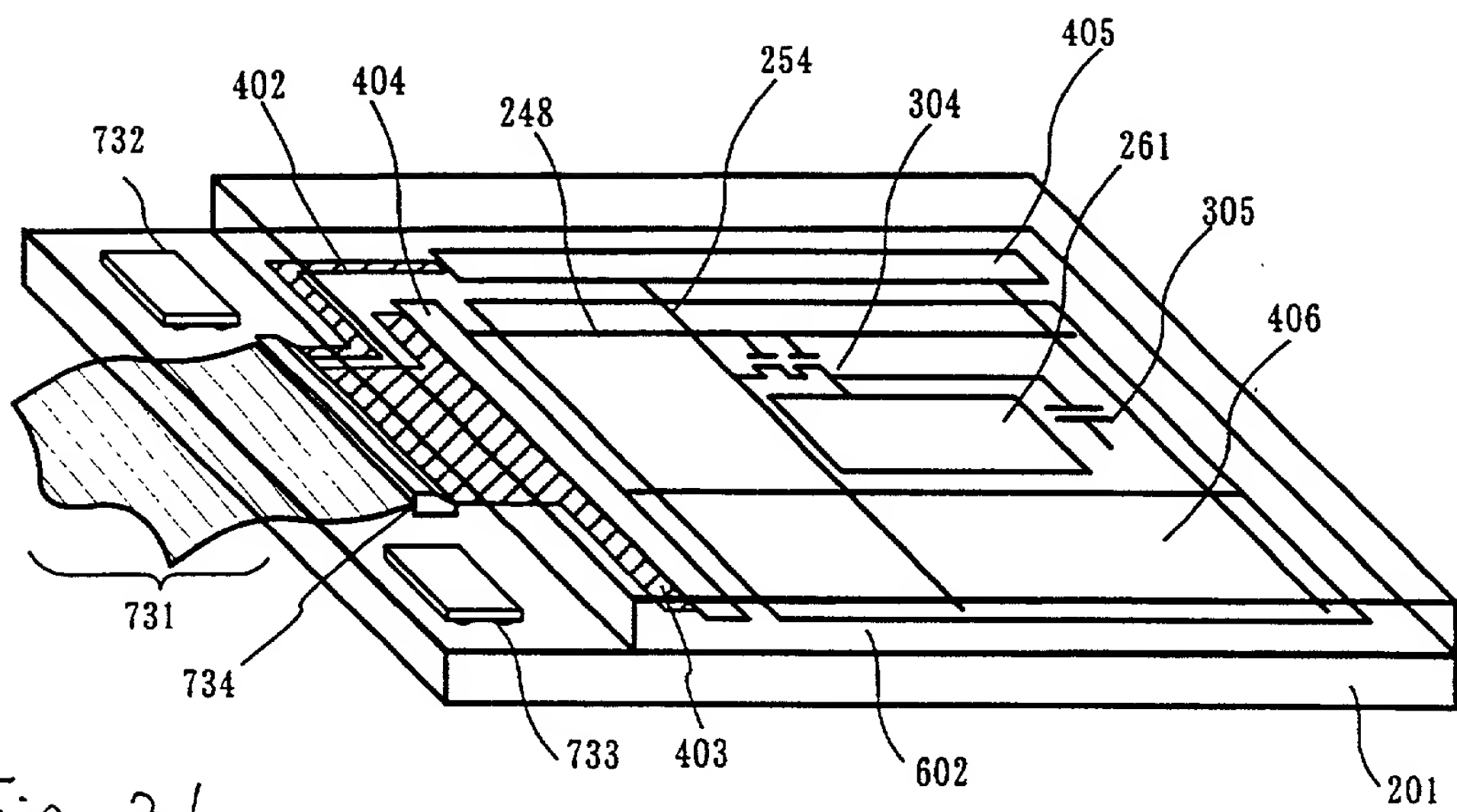


Fig. 21

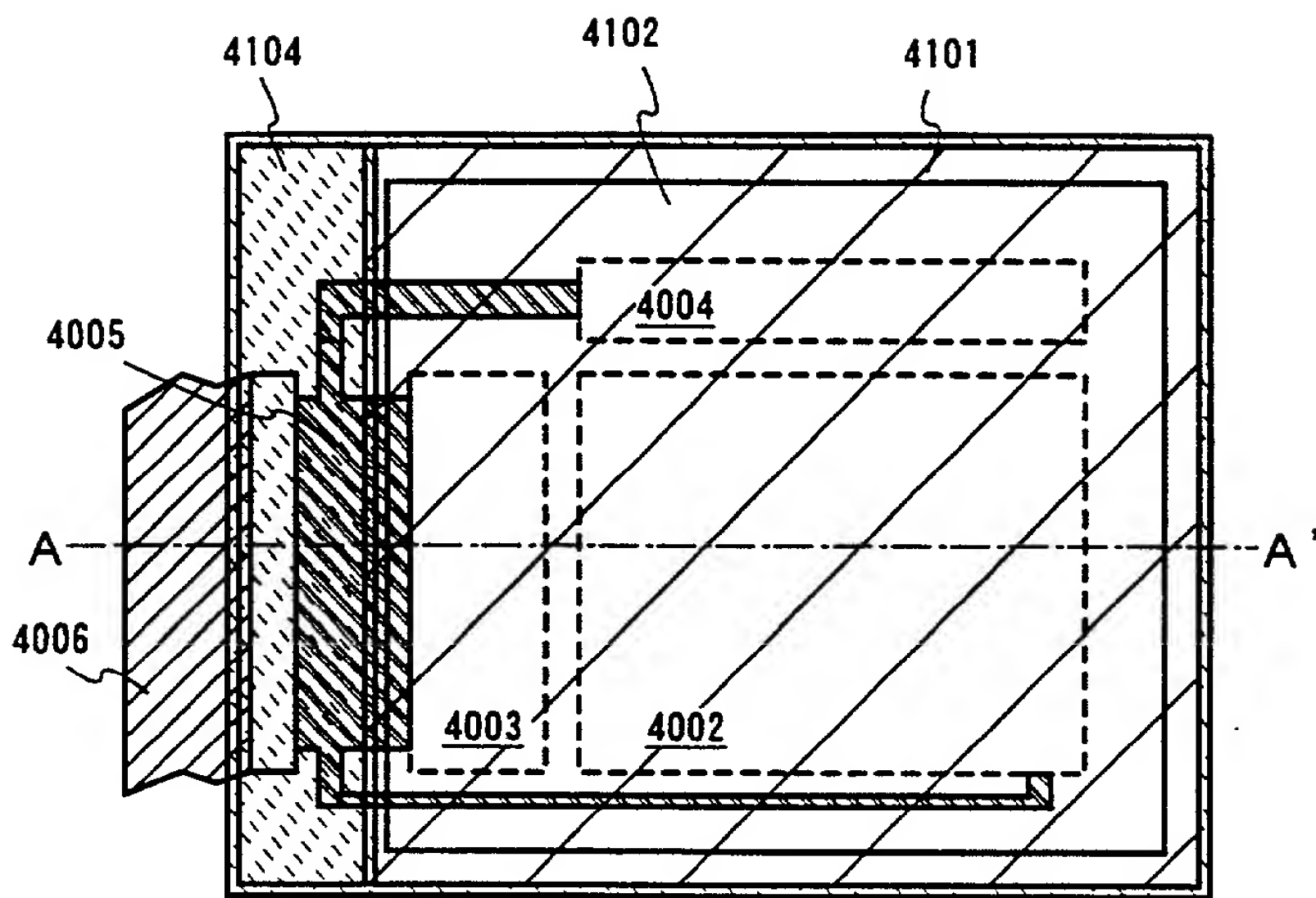


Fig. 22 A

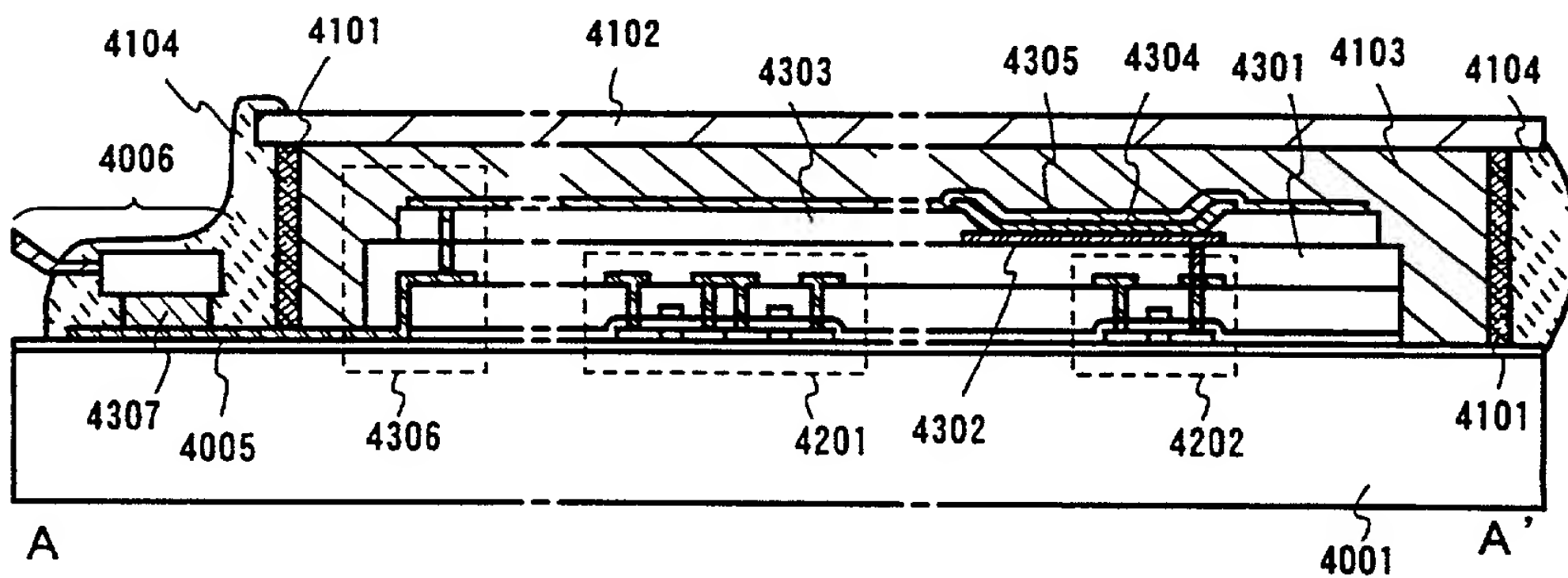


Fig. 22 B

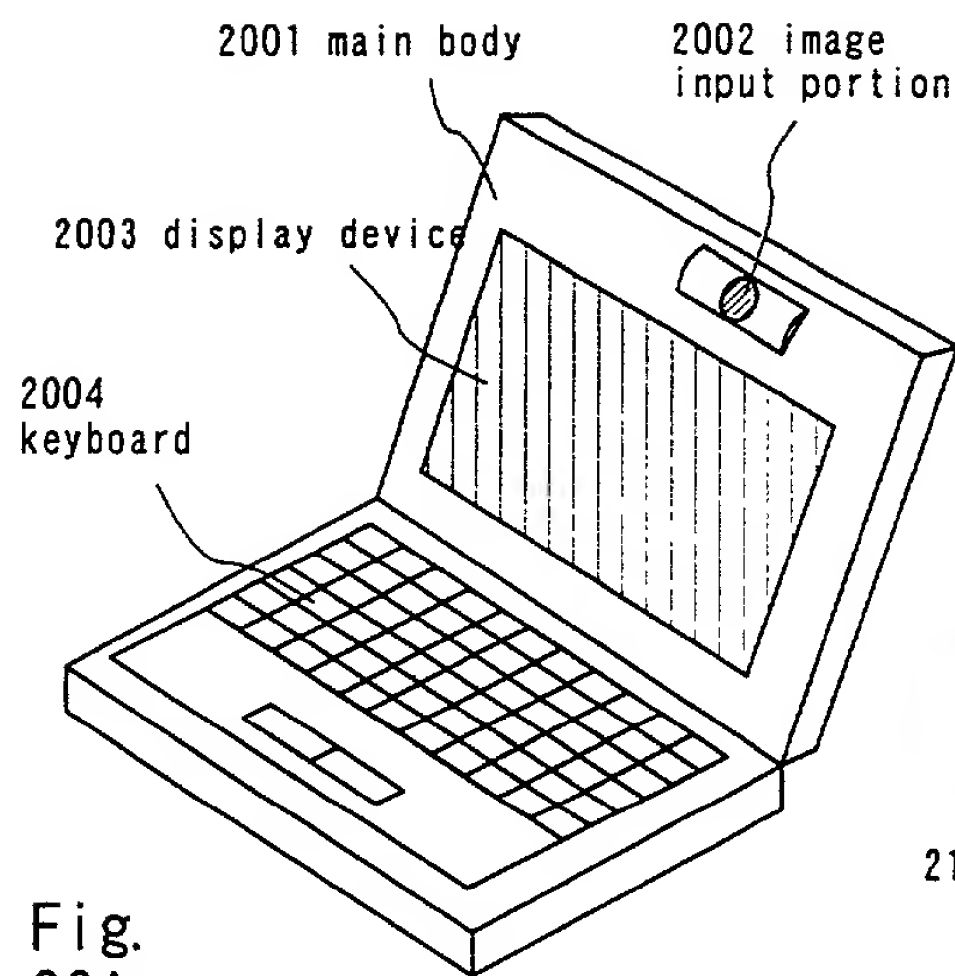


Fig. 23A

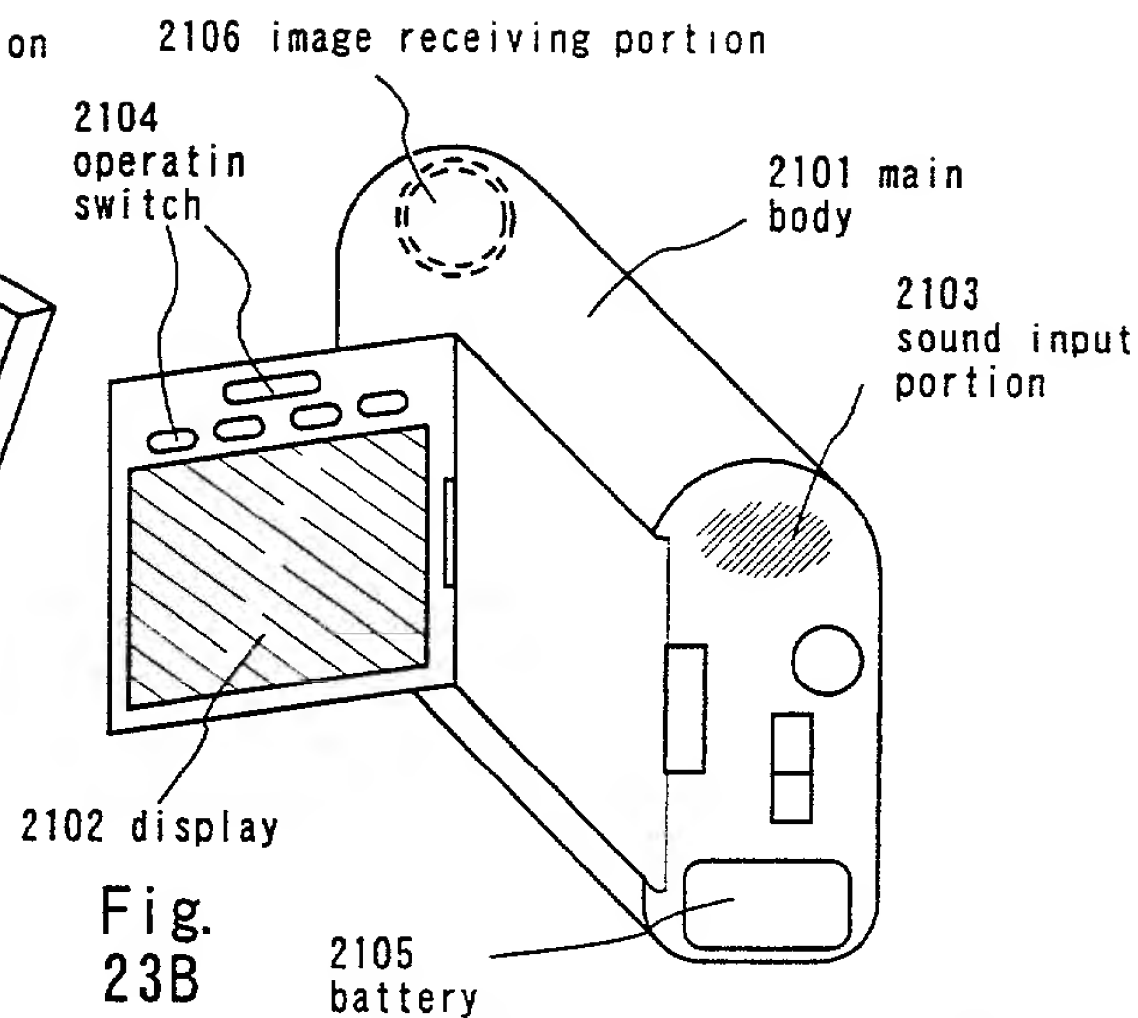


Fig. 23B

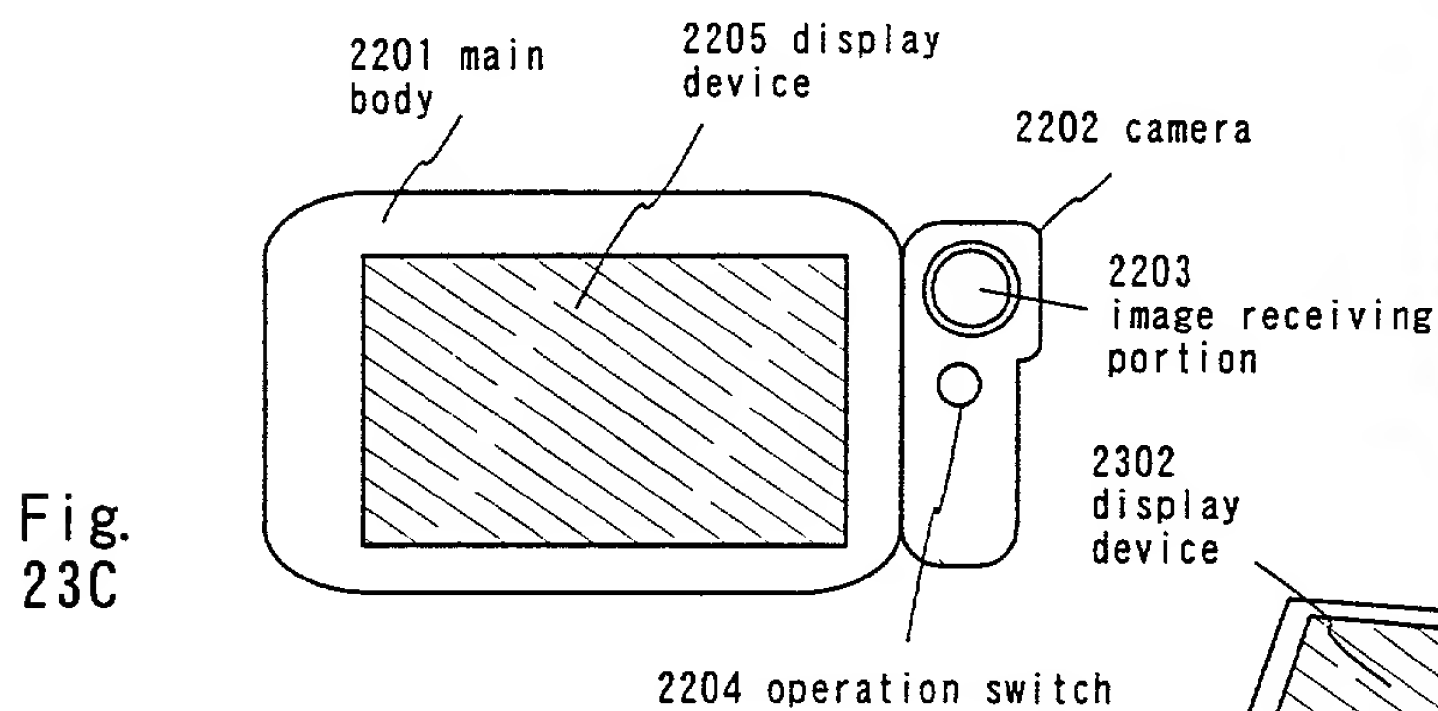


Fig. 23C

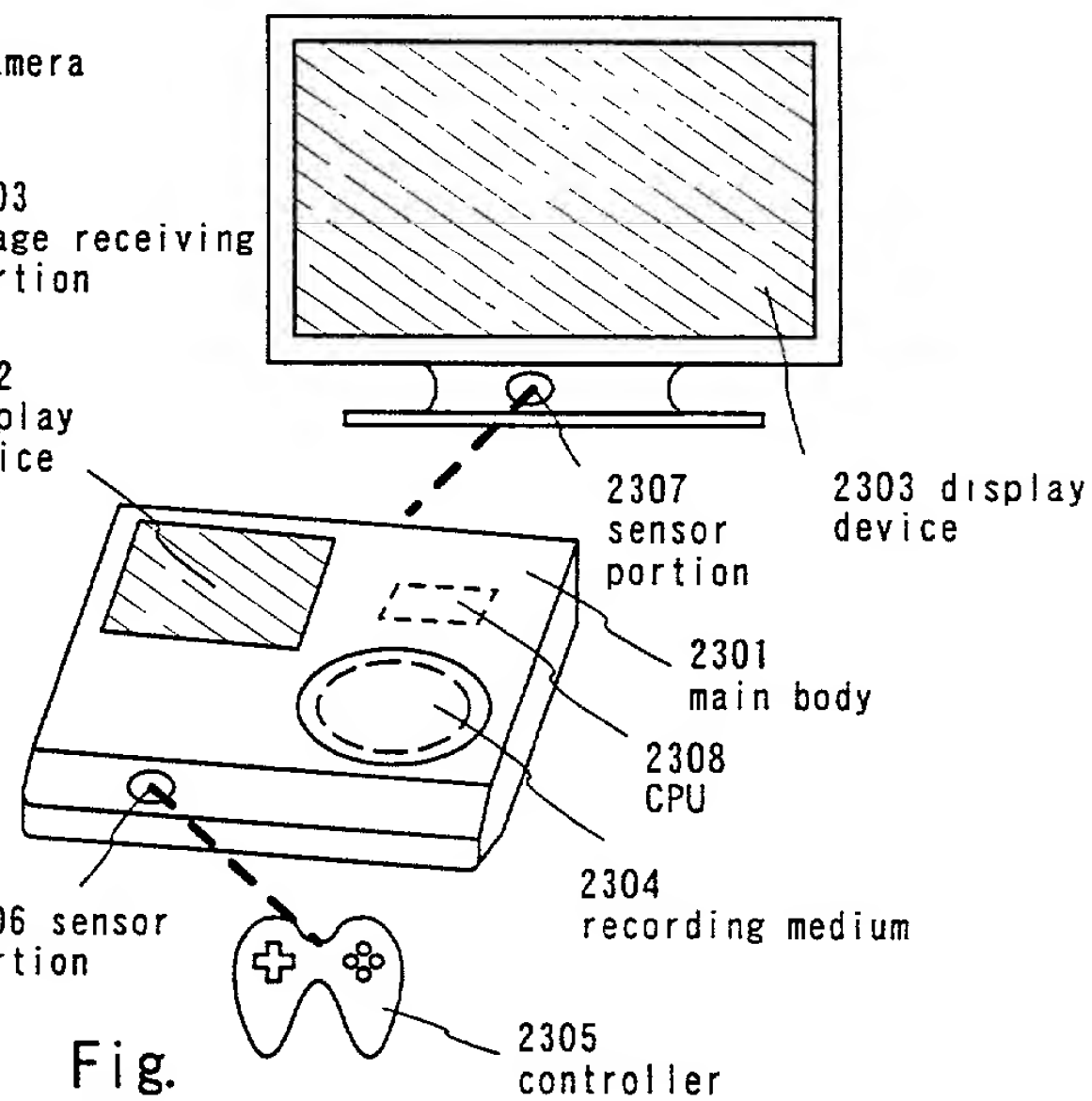


Fig. 23D

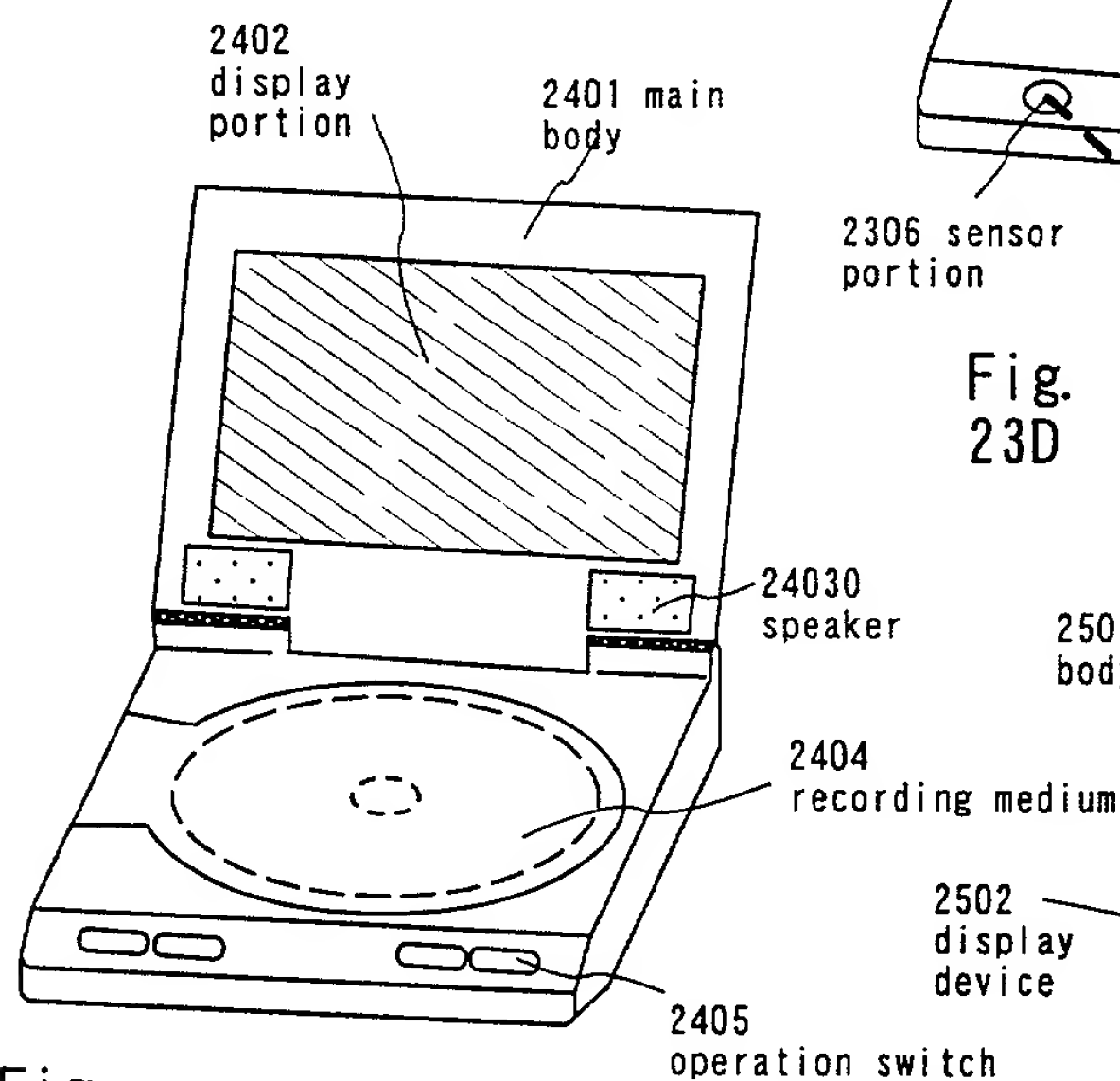


Fig. 23E

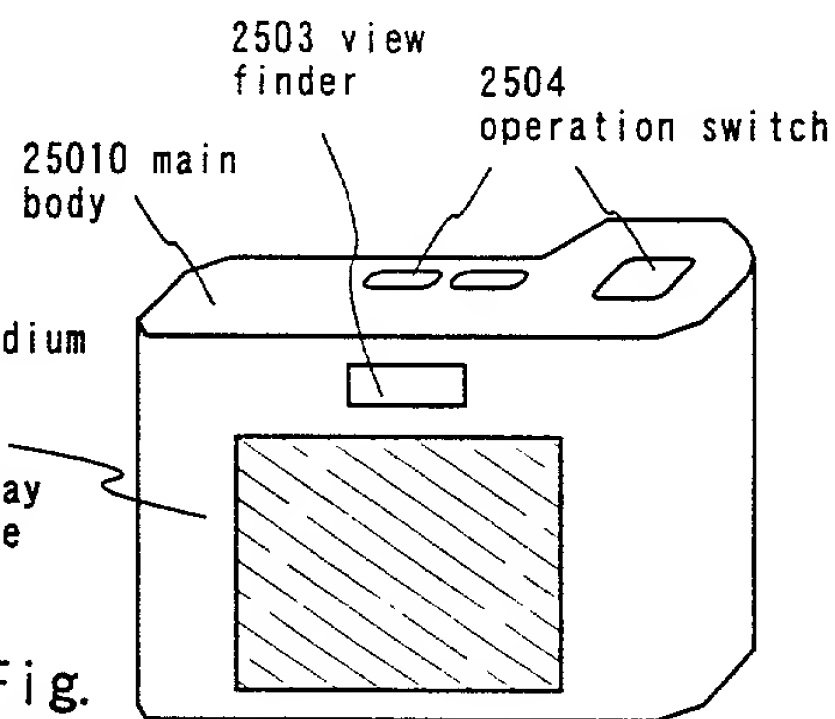


Fig. 23F

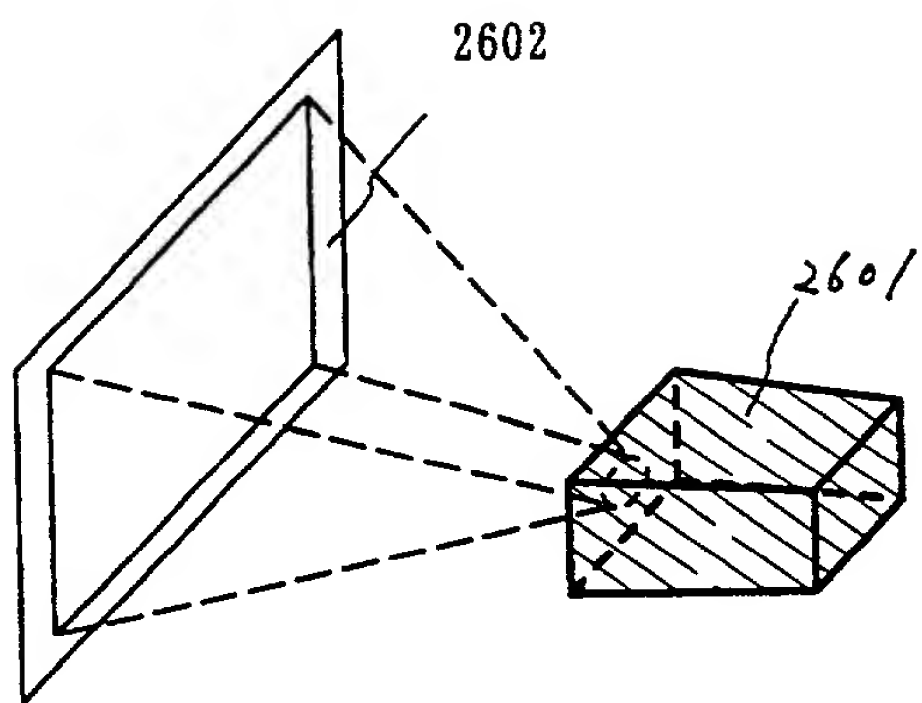


Fig. 24 A

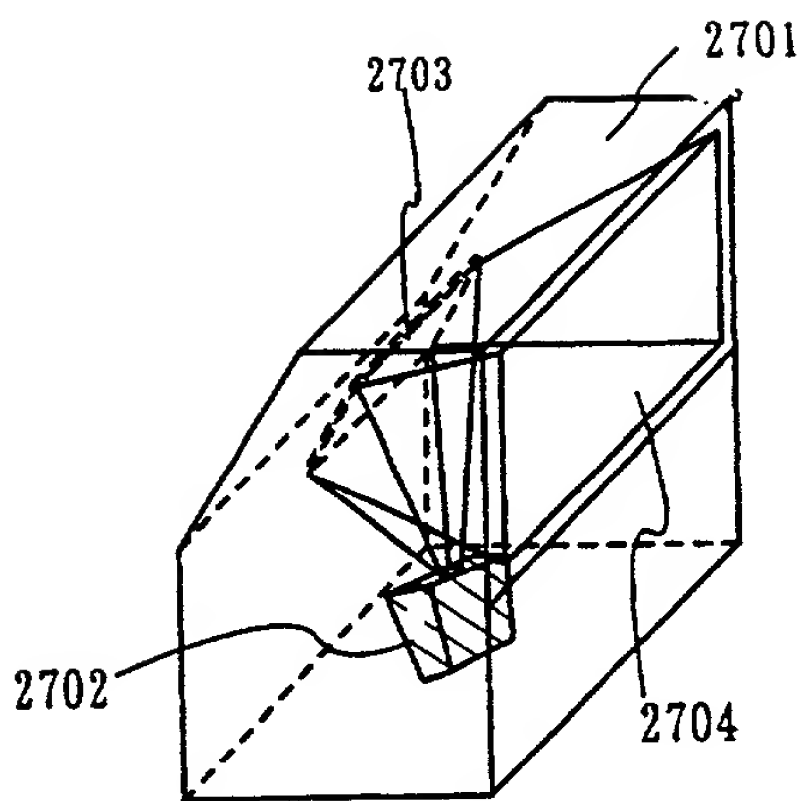


Fig. 24 B

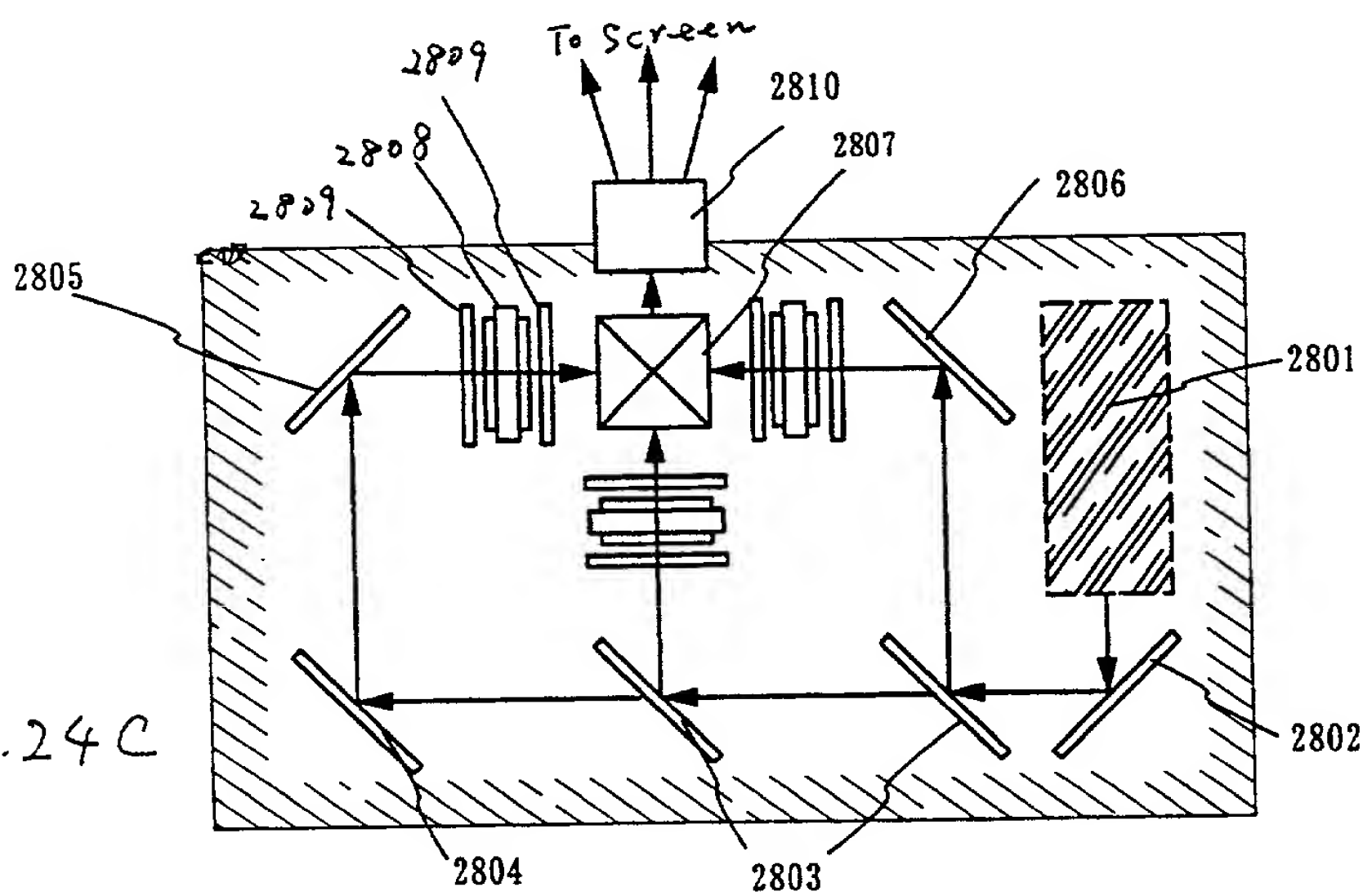


Fig. 24 C

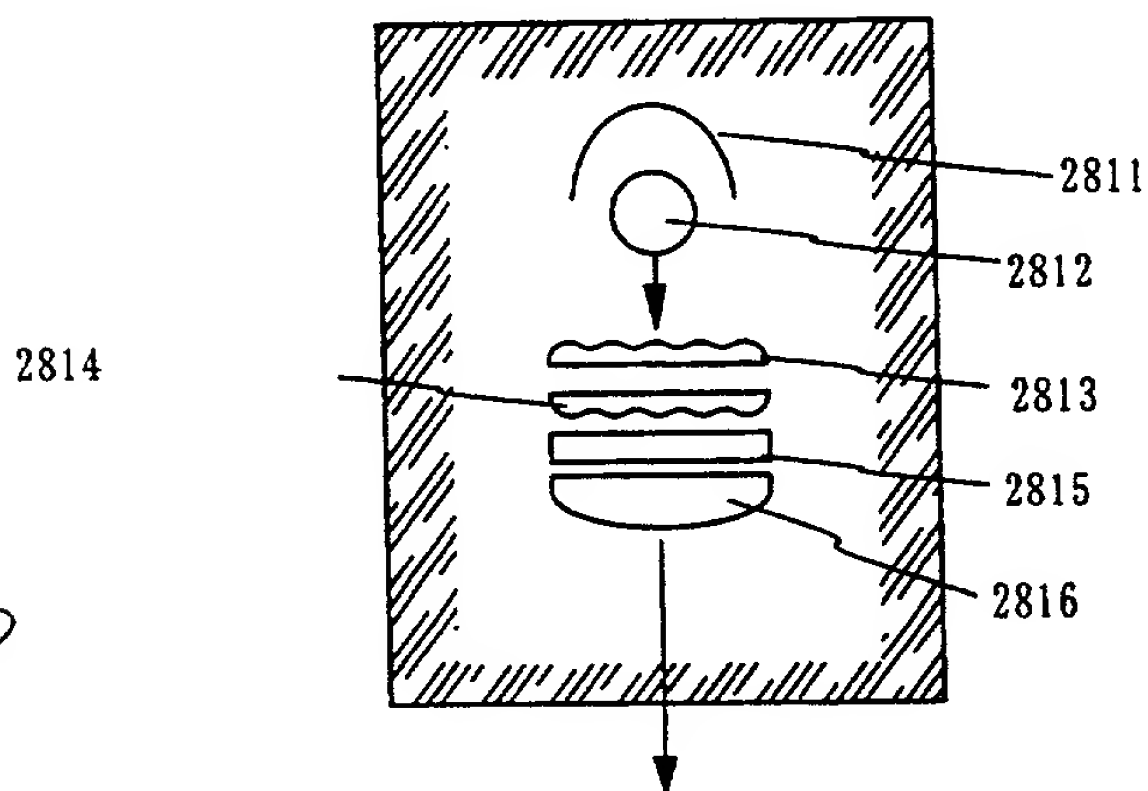


Fig. 24 D

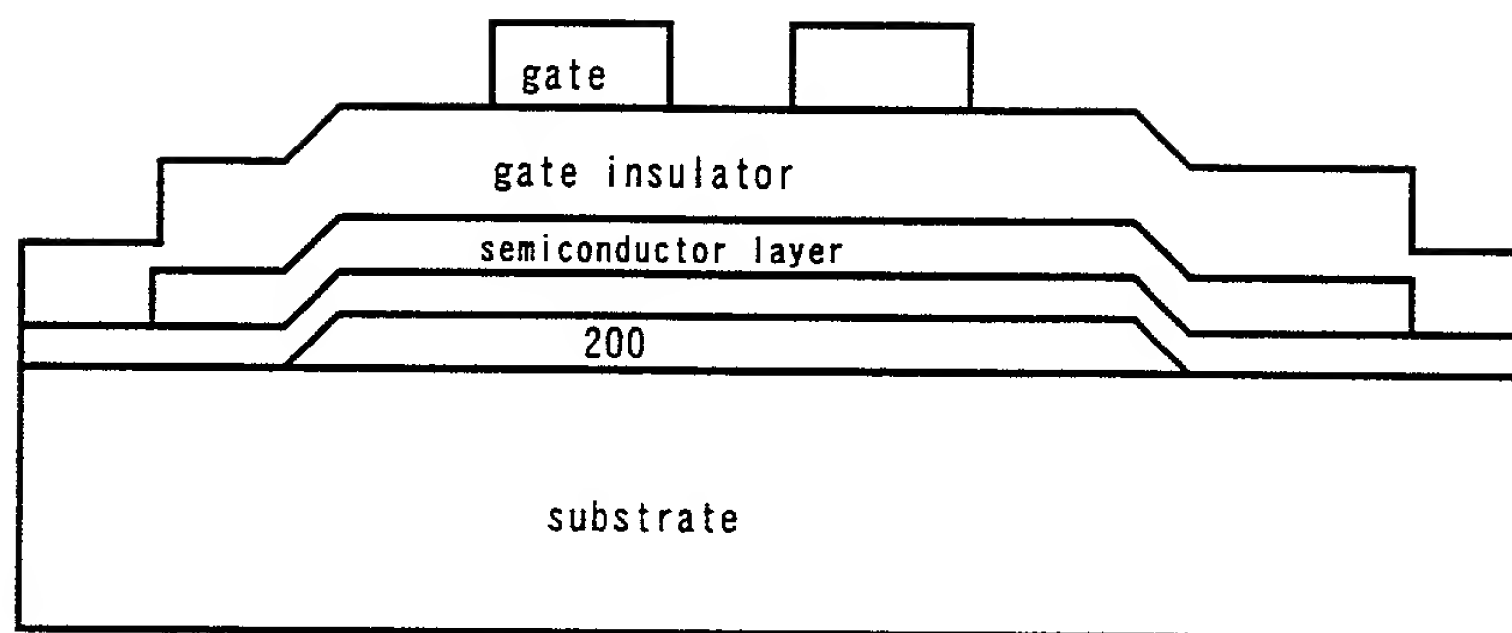


Fig. 25

2025 RELEASE UNDER E.O. 14176